



**SERVIÇO PÚBLICO FEDERAL
UNIVERSIDADE FEDERAL DE UBERLÂNDIA
INSTITUTO DE BIOTECNOLOGIA
PROGRAMA DE PÓS-GRADUAÇÃO EM GENÉTICA E
BIOQUÍMICA**

Efeitos da hidroxiapatita (CaHA) e do ácido poli-lático (PDLA) na bioestimulação de fibroblastos: Uma análise metabolômica, citotóxica e de citocinas sob a influência da terapia com ozônio

Aluno: Ludmilla Sousa Quirino

Orientador: Dra. Letícia de Souza Castro Filice

**UBERLÂNDIA - MG
2024**



**SERVIÇO PÚBLICO FEDERAL
UNIVERSIDADE FEDERAL DE UBERLÂNDIA
INSTITUTO DE BIOTECNOLOGIA
PROGRAMA DE PÓS-GRADUAÇÃO EM GENÉTICA E
BIOQUÍMICA**

Efeitos da hidroxiapatita (CaHA) e do ácido poli-lático (PDLA) na bioestimulação de fibroblastos: Uma análise metabólica, citotóxica e de citocinas sob a influência da terapia com ozônio

Aluno: Ludmilla Sousa Quirino

Orientador: Dra. Letícia de Souza Castro Filice

Dissertação apresentada à Universidade Federal de Uberlândia como parte dos requisitos para obtenção do Título de Mestre em Genética e Bioquímica

**UBERLÂNDIA - MG
2024**



**SERVIÇO PÚBLICO FEDERAL
UNIVERSIDADE FEDERAL DE UBERLÂNDIA
INSTITUTO DE BIOTECNOLOGIA
PROGRAMA DE PÓS-GRADUAÇÃO EM GENÉTICA E
BIOQUÍMICA**

Ficha Catalográfica Online do Sistema de Bibliotecas da UFU
com dados informados pelo(a) próprio(a) autor(a).

| | |
|------------|--|
| Q8 2024 | <p>Quirino, Ludmilla Sousa, 1998- Efeitos da hidroxiapatita (CaHA) e do ácido polilático (PDLA) na bioestimulação de fibroblastos: Uma análise metabolômica, citotóxica e de citocinas sob a influência da terapia com ozônio [recurso eletrônico] / Ludmilla Sousa Quirino. - 2024.</p> <p>Orientador: Dra. Leticia de Souza Castro Filice. Dissertação (Mestrado) - Universidade Federal de Uberlândia, Pós-graduação em Genética e Bioquímica. Modo de acesso: Internet. Disponível em: http://doi.org/10.14393/ufu.di.2024.393 Inclui bibliografia. Inclui ilustrações.</p> <p>1. Genética. I. Filice, Dra. Leticia de Souza Castro, 1973-, (Orient.). II. Universidade Federal de Uberlândia. Pós-graduação em Genética e Bioquímica. III. Título.</p> <p style="text-align: right;">CDU: 575</p> |
|------------|--|

Bibliotecários responsáveis pela estrutura de acordo com o AACR2:

Gizele Cristine Nunes do Couto - CRB6/2091
Nelson Marcos Ferreira - CRB6/3074



**SERVIÇO PÚBLICO FEDERAL
UNIVERSIDADE FEDERAL DE UBERLÂNDIA
INSTITUTO DE BIOTECNOLOGIA
PROGRAMA DE PÓS-GRADUAÇÃO EM GENÉTICA E
BIOQUÍMICA**

Efeitos da hidroxiapatita (CaHA) e do ácido poli-lático (PLLA) na bioestimulação de fibroblastos: Uma análise metabolômica, citotóxica e de citocinas sob a influência da terapia com ozônio

ALUNO: Ludmilla Sousa Quirino

COMISSÃO EXAMINADORA

Presidente: Dra. Letícia de Souza Castro Filice

Examinadores:

Dra. Flaviana Soares Rocha
Dra. Natássia Caroline Resende Correa
Dra. Wania Rezende Lima
Dra. Emília Rezende Vaz

Data da Defesa: 29 /07 /2024

DRA LETÍCIA DE SOUZA CASTRO FILICE



**SERVIÇO PÚBLICO FEDERAL
UNIVERSIDADE FEDERAL DE UBERLÂNDIA
INSTITUTO DE BIOTECNOLOGIA
PROGRAMA DE PÓS-GRADUAÇÃO EM GENÉTICA E
BIOQUÍMICA**

À Deus, pela Sua maravilhosa graça que me alcança, a fonte de toda minha satisfação e plenitude.

Em memória do Prof. Luiz Ricardo Goulart, cuja ausência é profundamente sentida. Seu legado e exemplo de vida continuam a inspirar cada passo da minha jornada profissional. À minha família, pelo apoio incondicional e amor constante, quisera eu conseguir expressar à altura o significado de vocês para mim.

Aos meus sinceros e verdadeiros amigos, com quem tenho o privilégio de dividir a vida e os aprendizados.



**SERVIÇO PÚBLICO FEDERAL
UNIVERSIDADE FEDERAL DE UBERLÂNDIA
INSTITUTO DE BIOTECNOLOGIA
PROGRAMA DE PÓS-GRADUAÇÃO EM GENÉTICA E
BIOQUÍMICA**

AGRADECIMENTOS

Demonstro minha gratidão à Prof. Letícia de Souza Castro Filice pela orientação durante este período da pós-graduação. Suas contribuições, apoio e paciência foram fundamentais no meu mestrado. Obrigada por me permitir explorar cada ideia e experimento. Meu sincero desejo é que este trabalho gere excelentes frutos a você. Ao Laboratório de Nanobiotecnologia e à coordenadora, Dra. Luciana Machado Bastos, por me acolherem no desenvolvimento da pesquisa, assim como toda a equipe do laboratório e colaboradores que enriqueceram meu trabalho com seu vasto conhecimento. Em especial, à Dra. Natássia Caroline Resende, por ser não apenas uma cientista excepcional, mas também uma verdadeira amiga e confidente.

Aos meus amigos de bancada, com imensa afeição: ao Lucas Peres, cujo apoio e contribuição a este trabalho são indescritíveis; à Me. Natieli, pela perspicácia e visão ampla ao conduzir os questionamentos corretos no meu trabalho, além de seu treinamento eficaz; à Me. Loyna, por seu acolhimento e treinamento, cuja falta é profundamente sentida; e à minha irmã de coração, Lorryne Honório, por dividir a vida e a bancada comigo há tantos anos, sempre me mantendo com os pés no chão e acolhendo meu coração.

Aos meus pais, sou a filha mais abençoada pelo apoio e investimento que fizeram em minha vida; vocês construíram um lar para que eu pudesse viver. Hoje, Lino e Elaine, essa conquista é de vocês também. Vocês e meus irmãos, Nicolly, Pâmela e Guilherme, são minha maior inspiração.

Aos meus amigos, ganhei na loteria da vida ao encontrar vocês e espero mantê-los sempre por perto, proporcionando a leveza que me fazem sentir. Agradeço aos citados acima e também a Pamela Gomes, Julian César Rodrigues, Victor Hugo, Brenda, Tainá Longarezi e



**SERVIÇO PÚBLICO FEDERAL
UNIVERSIDADE FEDERAL DE UBERLÂNDIA
INSTITUTO DE BIOTECNOLOGIA
PROGRAMA DE PÓS-GRADUAÇÃO EM GENÉTICA E
BIOQUÍMICA**

Alexandre, Laura Campitelli, Thais Eduarda, Maxinne, Maria Eduarda Parreira, Karoliny Honorato, Ana Paula Reis, Mariana Alkimim, Maria Clara Borati; Arissa, Alice, Nicole, Dhara, Sofia, Isabela e Ana Paula, e o Maycon Douglas. Vocês são pessoas-chave na minha vida, independentemente da distância.

Ao time da Gaio Data OS, pelo apoio, paciência e suporte na etapa final do mestrado. Tem sido um grande aprendizado estar com vocês. Ao INCT e à Capes, pelo financiamento da pesquisa e investimento.

Principalmente, a Deus, minha gratidão será expressa continuamente em minhas orações. Nenhuma palavra estaria à altura do Seu significado na minha vida e nesta etapa. O Senhor me conduz.



**SERVIÇO PÚBLICO FEDERAL
UNIVERSIDADE FEDERAL DE UBERLÂNDIA
INSTITUTO DE BIOTECNOLOGIA
PROGRAMA DE PÓS-GRADUAÇÃO EM GENÉTICA E
BIOQUÍMICA**

| | |
|--|----|
| APRESENTAÇÃO..... | 1 |
| CAPÍTULO I..... | 2 |
| 1. Contextualização sobre a pele e o envelhecimento | 2 |
| 2. Estrutura da pele | 3 |
| 3. Colágeno e o processo de envelhecimento..... | 4 |
| 4. Introdução aos fibroblastos e a linhagem HFF-1 | 8 |
| 5. Estimuladores de colágeno | 8 |
| 6. Ozônio e seu potencial estimulatório..... | 10 |
| 7. Referências Bibliográficas:..... | 12 |
| CAPÍTULO II..... | 15 |
| Abstract..... | 15 |
| 1. Introduction | 16 |
| 2. Materials and methods..... | 19 |
| a. Cell culture | 19 |
| b. Preparation and handling of PDLA, CaHA, and ozone collection..... | 19 |
| c. Cell Viability Assay by resazurin reduction..... | 20 |
| d. Cell migration and proliferation analysis by Scratch assay..... | 20 |
| e. Metabolic Analysis by Mass Spectrometry | 21 |
| f. Cytokine analysis by flow cytometry | 22 |
| g. Statistical Analysis | 23 |
| 3. Results | 23 |
| a. Cell Viability Assay by resazurin reduction for determining optimal concentrations of PDLA, CaHA and ozone..... | 23 |
| b. Cell migration and proliferation analysis by Scratch assay..... | 26 |
| c. Metabolic Analysis by Mass Spectrometry | 27 |
| d. Cytokine analysis by flow cytometry | 32 |
| 4. Discussion..... | 32 |
| 5. Conclusion..... | 34 |
| 6. References: | 36 |



**SERVIÇO PÚBLICO FEDERAL
UNIVERSIDADE FEDERAL DE UBERLÂNDIA
INSTITUTO DE BIOTECNOLOGIA
PROGRAMA DE PÓS-GRADUAÇÃO EM GENÉTICA E
BIOQUÍMICA**

APRESENTAÇÃO

O envelhecimento é reconhecido como um desafio global significativo para a saúde, com foco em promover um envelhecimento saudável que estenda a expectativa de vida ao mesmo tempo que assegure boa saúde física e mental. A pele humana, como o maior órgão do corpo, sofre diversas alterações fisiológicas, moleculares e bioquímicas ao longo do tempo, particularmente uma redução na produção de colágeno, que resulta em pele mais fina, menos elástica e mais suscetível a danos.

Para combater esses efeitos do envelhecimento, diversas estratégias têm sido desenvolvidas para estimular a produção de colágeno e melhorar a aparência e funcionalidade da pele. Entre essas estratégias, destacam-se o uso de hidroxapatita de cálcio (CaHA) e ácido poli-L-láctico (PDLA), que atuam como bioestimuladores, promovendo a produção de colágeno e a regeneração da pele. Além disso, a terapia com ozônio (O₃) tem sido proposta como um método para aumentar a oxigenação celular e estimular processos biológicos que favorecem a saúde da pele.

Neste estudo, investigamos os efeitos de CaHA, PDLA e ozônio na bioestimulação de fibroblastos humanos, na análise metabólica e de citocinas. Os resultados indicaram que esses tratamentos podem efetivamente promover a migração e proliferação de fibroblastos, além de aumentar a produção de colágeno e responder ao estresse oxidativo, sugerindo seu potencial terapêutico na regeneração da pele e no combate aos sinais de envelhecimento. Este trabalho é composto por dois capítulos principais, em que o capítulo I corresponde à fundamentação teórica seguido do capítulo II que contém o artigo científico, dependente de publicação, com os resultados experimentais.



**SERVIÇO PÚBLICO FEDERAL
UNIVERSIDADE FEDERAL DE UBERLÂNDIA
INSTITUTO DE BIOTECNOLOGIA
PROGRAMA DE PÓS-GRADUAÇÃO EM GENÉTICA E
BIOQUÍMICA**

CAPÍTULO I

1. Contextualização sobre a pele e o envelhecimento

O envelhecimento da pele é um processo natural, complexo e multifatorial resultante da interação entre fatores intrínsecos e extrínsecos. Sendo o primeiro relacionado ao próprio organismo, como a composição genética e hormonal, enquanto o segundo abrange as influências ambientais, como a exposição à radiação ultravioleta (UV), poluição, tabagismo e a dieta. A pele envelhecida sofre várias alterações morfológicas e funcionais, incluindo a perda da elasticidade, surgimento de rugas, manchas senis e a menor hidratação (BURKE, 2018; RORTEAU et al., 2020; TOBIN, 2017; WONG et al., 2016; ZARGARAN et al., 2022).

Neste contexto, vale ressaltar ainda que os fatores intrínsecos incluem uma diminuição progressiva da capacidade de renovação celular e dos componentes estruturais da matriz extracelular (MEC), fundamentais para a integridade da mesma, devido a composição por biomoléculas estruturais como colágeno, elastina, proteoglicanos e glicosaminoglicanos (GAGs). Conforme a progressão da idade, a síntese de colágeno e elastina diminuem, enquanto a atividade das metaloproteinases de matriz (MMPs), enzimas responsáveis pela degradação de proteínas, aumenta. Consequentemente, as alterações morfológicas tornam-se visíveis caracterizando a aparência senescente (CELLENO; TAMBURI, 2009; DENGJEL; BRUCKNER-TUDERMAN; NYSTRÖM, 2020; NYSTRÖM; BRUCKNER-TUDERMAN, 2019)

Os fatores extrínsecos ao organismo, particularmente a exposição aos raios UV, desempenham um papel crucial no envelhecimento cutâneo. A radiação UVB causa danos diretos ao DNA das células epiteliais, enquanto a radiação UVA penetra mais profundamente, na derme, causando danos ao colágeno e induzindo a formação de radicais livres. Estes induzem



**SERVIÇO PÚBLICO FEDERAL
UNIVERSIDADE FEDERAL DE UBERLÂNDIA
INSTITUTO DE BIOTECNOLOGIA
PROGRAMA DE PÓS-GRADUAÇÃO EM GENÉTICA E
BIOQUÍMICA**

estresse oxidativo, que danifica proteínas, lipídios e DNA celular, acelerando o envelhecimento cutâneo. Além disso, a poluição e o tabagismo também contribuem significativamente para o envelhecimento da pele. Poluentes ambientais e compostos tóxicos do tabaco induzem a expressão de MMPs e promovem a inflamação crônica através da ativação do receptor de hidrocarboneto aril (AHR), exacerbando o dano cutâneo (TOBIN, 2017; ZARGARAN et al., 2022).

2. Estrutura da pele

A pele é o órgão mais extenso do corpo humano, atuando como uma barreira protetora do ser humano além de várias outras funções fisiológicas. Ela é composta por três camadas principais: epiderme, a derme e a hipoderme. A primeira, mais externa, um tecido epitelial estratificado pavimentoso queratinizado, composto principalmente por queratinócitos, compõe um obstáculo físico de proteção ao corpo; apresenta também melanócitos, responsáveis pela produção do pigmento melanina que minimiza os danos causados pela radiação UV, células de Langerhans, cujo papel na resposta imunológica cutânea é fundamental, além das células de Meckel que funcionam como mecanorreceptores (CELLENO; TAMBURI, 2009; DENGJEL; BRUCKNER-TUDERMAN; NYSTRÖM, 2020; NYSTRÖM; BRUCKNER-TUDERMAN, 2019; WONG et al., 2016).

A segunda camada é a derme, localizada abaixo da epiderme, sendo mais espessa e composta por fibroblastos responsáveis pela síntese de colágeno, elastina e outros componentes da matriz. Além disso, a derme é subdivida em derme papilar e a reticular, contendo uma complexa rede de vasos sanguíneos, terminações nervosas e anexos cutâneos como os folículos pilosos e as glândulas sebáceas fundamentais na regulação térmica através da sudorese e da vasoconstrição e vasodilatação mantendo a homeostase térmica. Não somente, a presença das terminações nervosas contribui para a detecção dos estímulos táteis e térmicos que constroem a percepção sensorial e sensibilidade (NYSTRÖM; BRUCKNER-TUDERMAN, 2019; WONG et al., 2016).



**SERVIÇO PÚBLICO FEDERAL
UNIVERSIDADE FEDERAL DE UBERLÂNDIA
INSTITUTO DE BIOTECNOLOGIA
PROGRAMA DE PÓS-GRADUAÇÃO EM GENÉTICA E
BIOQUÍMICA**

Já a terceira camada, a hipoderme, é composta principalmente por adipócitos que armazenam energia na forma de gordura e fornecem o isolamento térmico e amortecimento contra os impactos fornecendo a proteção e prevenção a danos aos tecidos subjacentes (RORTEAU et al., 2020; WONG et al., 2016).

3. Colágeno e o processo de envelhecimento

Como citado, o colágeno é uma das biomoléculas chaves na pele, sendo o alvo de estudo deste trabalho, o entendimento do processo de síntese é fundamental para contextualização e estudos. A sua síntese começa no núcleo das células produtoras, os fibroblastos, em que os genes de colágeno (nomenclatura comumente utilizada é a *COL*, havendo variação conforme o tipo de colágeno produzido, por exemplo: *COL1A1* para o tipo I) são transcritos em pré-RNAs mensageiros que ao sofrerem *splicing*, processo de maturação de um RNA precursor, forma mRNAs maduros. Estes são transportados para o citoplasma, onde são traduzidos em polipeptídeos chamados pré-procolágenos, no retículo endoplasmático rugoso (RER) (NYSTRÖM; BRUCKNER-TUDERMAN, 2019; PAWELEC; BEST; CAMERON, 2016; SILVA; PENNA, 2012; SORUSHANOVA et al., 2019).

No RER, os pré-procolágenos sofrem modificações pós-traducionais, como a hidroxilação de resíduos de lisina e prolina, processo de adição de grupos hidroxila aos resíduos de lisina e prolina, crucial para a estabilidade da hélice tripla do colágeno. A presença de vitamina C é essencial para essa etapa por ser um cofator das hidroxilases, o que fundamenta a interação metabólica da dieta como um fator extrínseco importante no processo de envelhecimento (SORUSHANOVA et al., 2019).

Outra modificação pós-traducional é a glicosilação em que alguns resíduos de hidroxilisina são glicosilados com a adição da galactose e glicose, importante para solubilidade e posterior construção da biomolécula (DENGJEL; BRUCKNER-TUDERMAN; NYSTRÖM,



**SERVIÇO PÚBLICO FEDERAL
UNIVERSIDADE FEDERAL DE UBERLÂNDIA
INSTITUTO DE BIOTECNOLOGIA
PROGRAMA DE PÓS-GRADUAÇÃO EM GENÉTICA E
BIOQUÍMICA**

2020; GABLER et al., 2018; NYSTRÖM; BRUCKNER-TUDERMAN, 2019; SORUSHANOVA et al., 2019).

Posteriormente, a associação das três cadeias de pré-procolágeno constitui uma hélice tripla que é estabilizada pelas ligações de hidrogênio e interações hidrofóbicas, este complexo é conhecido como pró-colágeno. Este é transportado para o aparelho de Golgi, onde é embalado em vesículas secretoras e liberado no espaço extracelular. E uma vez fora da célula, as procolágeno peptidases clivam os telopeptídeos nas extremidades N e C do pró-colágeno, convertendo-o em tropocolágeno (SORUSHANOVA et al., 2019).

As moléculas de tropocolágeno podem se auto-organizar em fibrilas, um processo chamado de fibrilogênese, impulsionadas por um aumento da entropia total do sistema associada a desordem molecular na interface água-proteína devido a liberação das moléculas de água presentes na estrutura ao redor das moléculas individuais de tropocolágeno. A fibrilogênese pode ser subdividida em nucleação em que há alinhamento e formação de núcleos das fibrilas facilitado pela presença de moléculas auxiliares como a fibronectina e o colágeno tipo V. E em uma fase de crescimento linear e lateral em que após a nucleação, há aumento do diâmetro e maturação das fibrilas com a característica banda D de colágeno (PAWELEC; BEST; CAMERON, 2016; SORUSHANOVA et al., 2019).

As fibrilas de colágeno são estabilizadas por ligações cruzadas covalentes, que são formadas através da ação das enzimas lisil oxidases. Estas enzimas catalisam a oxidação de resíduos de lisina, formando aldeídos que podem reagir com outras moléculas de colágeno para formar ligações cruzadas, aumentando a resistência e a estabilidade das fibrilas de colágeno.

A regulação desse processo ocorre por vários fatores ambientais e moleculares. O pH, a força iônica e a presença de moléculas auxiliares como GAGs e pequenas proteínas ricas em leucina (SLRPs) influenciam a taxa e a qualidade da fibrilogênese. Estas moléculas podem se associar às fibrilas em crescimento, regulando seu diâmetro e a organização final da matriz extracelular (KIRK; AHMED; ROGNONI, 2021; PAWELEC; BEST; CAMERON, 2016; SHOULDERS; RAINES, 2009).



**SERVIÇO PÚBLICO FEDERAL
UNIVERSIDADE FEDERAL DE UBERLÂNDIA
INSTITUTO DE BIOTECNOLOGIA
PROGRAMA DE PÓS-GRADUAÇÃO EM GENÉTICA E
BIOQUÍMICA**

Após a formação e estabilização das fibrilas individuais, estas se associam para formar fibras de colágeno mais grossas e organizadas. Um dos tipos de colágeno mais abundantes na derme é o tipo I. As fibras de colágeno tipo I formadas se organizam em feixes paralelos, que são visíveis ao microscópio eletrônico como estruturas altamente ordenadas. Estes feixes conferem à pele e a outros tecidos conjuntivos uma resistência mecânica significativa, permitindo que resistam a forças de tração e compressão (PAWELEC; BEST; CAMERON, 2016; SHOULDERS; RAINES, 2009; WENGER et al., 2007).

A organização das fibras de colágeno em feixes é regulada por vários fatores, incluindo a densidade e a distribuição das fibrilas, a presença de proteínas reguladoras na matriz extracelular, e o microambiente mecânico ao redor das células produtoras de colágeno. Fatores de crescimento, citocinas e a interação com células circundantes também desempenham um papel importante na regulação deste processo (DENGJEL; BRUCKNER-TUDERMAN; NYSTRÖM, 2020; HE; SHARPLESS, 2017; NOWAG et al., 2024; SORUSHANOVA et al., 2019)

Dentre os fatores de crescimento, se pode citar o TGF- β (NYSTRÖM; BRUCKNER-TUDERMAN, 2019), fator de crescimento transformador beta, um dos reguladores mais importantes da síntese de colágeno. Ele aumenta a expressão dos genes do colágeno tipo I e III em fibroblastos (NYSTRÖM; BRUCKNER-TUDERMAN, 2019), promovendo a produção e a deposição de colágeno na MEC. O TGF- β também regula a atividade de MMPs e seus inibidores naturais, os TIMPs, equilibrando a síntese e a degradação do colágeno (DENGJEL; BRUCKNER-TUDERMAN; NYSTRÖM, 2020; NYSTRÖM; BRUCKNER-TUDERMAN, 2019; PAWELEC; BEST; CAMERON, 2016).

Outro fator é o IGF-1, fator de crescimento insulínico tipo 1, que promove a síntese de colágeno e a proliferação de fibroblastos. Ele atua através da ativação da via de sinalização PI3K/Akt, que é crucial para a sobrevivência celular e a síntese de proteína. Além dele o FGF-2 que estimula a proliferação de fibroblastos e a produção de colágeno, importantes no processo de cicatrização e remodelação da MEC. Da mesma forma, o fator de crescimento de fibroblastos



**SERVIÇO PÚBLICO FEDERAL
UNIVERSIDADE FEDERAL DE UBERLÂNDIA
INSTITUTO DE BIOTECNOLOGIA
PROGRAMA DE PÓS-GRADUAÇÃO EM GENÉTICA E
BIOQUÍMICA**

(FGF), particularmente o FGF-2, estimulam a proliferação de fibroblastos e a produção de colágeno assim como o fator de crescimento epidérmico (EGF) (KIRK; AHMED; ROGNONI, 2021; ROCHA; MAGALHÃES; NUNES, 2020; SHOULDERS; RAINES, 2009; SORUSHANOVA et al., 2019).

Em relação a citocinas, destaca-se o papel das interleucinas (ILs) 1, 6 e 10 (PIIPPONEN; LI; LANDÉN, 2020) assim como o fator de necrose tumoral alfa (TNF- α) (PIIPPONEN; LI; LANDÉN, 2020), sendo a primeira e a segunda citocinas pró-inflamatórias. A IL-1, assim como TNF- α , pode ter efeitos duplos na síntese de colágeno, podendo em níveis elevados aumentar a produção de MMPs degradando o colágeno, mas em concentrações fisiológicas estimula sua síntese ativando os fibroblastos. Enquanto a IL-6 tem um papel modulatório na tradução desta biomolécula especialmente durante a resposta inflamatória inicial à lesão, por outro lado a IL-10 é anti-inflamatória com efeito protetor sobre a MEC inibindo a produção de MMPs consequentemente ativando a de colágeno (HÄNEL et al., 2013; PIIPPONEN; LI; LANDÉN, 2020).

A matriz extracelular (MEC), composta por colágeno e outras moléculas, é continuamente remodelada em resposta a sinais fisiológicos e patológicos. A atividade das MMPs e TIMPs regula o equilíbrio entre a síntese e a degradação do colágeno, mantendo a homeostase tecidual. Com o envelhecimento, o equilíbrio entre a atividade das MMPs e TIMPs pode ser alterado, resultando em uma degradação acelerada do colágeno e comprometendo a integridade da MEC (BURKE, 2018; HE; SHARPLESS, 2017; PAWELEC; BEST; CAMERON, 2016; ROCHA; MAGALHÃES; NUNES, 2020).

A compreensão dos mecanismos subjacentes ao envelhecimento cutâneo e a função dos fibroblastos é essencial para o desenvolvimento de novas estratégias terapêuticas que visam melhorar a saúde da pele e mitigar os efeitos do envelhecimento e das doenças cutâneas. A contínua pesquisa nessa área tem o potencial de levar a avanços significativos na prevenção e tratamento de condições que afetam a aparência e a funcionalidade da pele, promovendo uma



**SERVIÇO PÚBLICO FEDERAL
UNIVERSIDADE FEDERAL DE UBERLÂNDIA
INSTITUTO DE BIOTECNOLOGIA
PROGRAMA DE PÓS-GRADUAÇÃO EM GENÉTICA E
BIOQUÍMICA**

melhor qualidade de vida (KIRK; AHMED; ROGNONI, 2021; ROCHA; MAGALHÃES; NUNES, 2020; TOBIN, 2017).

4. Introdução aos fibroblastos e a linhagem HFF-1

Os fibroblastos são células fundamentais na manutenção e reparo da MEC da pele, desempenhando um papel crucial na síntese de colágeno, elastina e outras proteínas essenciais para a estrutura e função cutânea. Estas células mesenquimais são responsáveis pela produção e organização dos componentes da MEC, conferindo resistência e elasticidade ao tecido dérmico. Além de sua capacidade de síntese, os fibroblastos também respondem a sinais bioquímicos e mecânicos do microambiente cutâneo, modulando sua atividade conforme necessário para processos de cicatrização e regeneração. Com o envelhecimento, a funcionalidade dos fibroblastos é comprometida por danos acumulados ao DNA, disfunção mitocondrial, e alterações epigenéticas, resultando em uma produção reduzida de colágeno e elastina. Este declínio contribui significativamente para a perda de firmeza e elasticidade da pele, características típicas do envelhecimento cutâneo (BURKE, 2018; KIRK; AHMED; ROGNONI, 2021; ROCHA; MAGALHÃES; NUNES, 2020).

5. Estimuladores de colágeno

Para combater a diminuição da síntese de colágeno associada ao envelhecimento, várias estratégias e agentes estimuladores de colágeno têm sido desenvolvidos. Dentre os principais estão o ácido poli-L-láctico (PLLA) e a hidroxiapatita (CaHA)(AHN; RAO, 2014; NOWAG et al., 2024; ZERBINATI; CALLIGARO, 2018).

O PLLA é um polímero biocompatível e biodegradável que estimula a produção de colágeno através de uma resposta inflamatória subclínica, seguida de fibroplasia. Ele é utilizado em procedimentos estéticos para aumentar o volume da pele e melhorar a firmeza e elasticidade ao promover a produção de novo colágeno por meio da indução de uma resposta inflamatória



**SERVIÇO PÚBLICO FEDERAL
UNIVERSIDADE FEDERAL DE UBERLÂNDIA
INSTITUTO DE BIOTECNOLOGIA
PROGRAMA DE PÓS-GRADUAÇÃO EM GENÉTICA E
BIOQUÍMICA**

que envolve a infiltração de neutrófilos e macrófagos nos primeiros dias após a injeção. Esta resposta é seguida pela formação de granulomas e pela deposição de colágeno tipo III, que posteriormente é substituído por colágeno tipo I. A resposta inflamatória inicial é essencial para estimular a produção de colágeno tipo I, mas pode resultar em uma inflamação crônica se não for adequadamente regulada (NOWAG et al., 2024).

Outro bioestimulador, a CaHA atua como uma matriz que favorece a fibroplasia e a formação de novo colágeno. Quando injetada na pele, as microesferas de CaHA são encapsuladas por fibrina, fibroblastos e macrófagos, o que estimula a síntese de colágeno e resulta em um efeito de preenchimento duradouro. Estudos indicam que a CaHA promove uma resposta regenerativa com deposição de colágeno e elastina, similar ao tecido natural saudável, e tende a induzir uma resposta menos inflamatória e mais regenerativa. As microesferas de CaHA servem como um scaffold (andaime) para os fibroblastos, promovendo a produção de colágeno sem desencadear uma resposta inflamatória significativa. Isso resulta em uma regeneração mais organizada da matriz extracelular, com uma deposição equilibrada de colágeno e elastina, melhorando a qualidade e a espessura da pele (ATTENELLO; MAAS, 2015; NOWAG et al., 2024).

Embora existam inúmeros estudos clínicos e pré-clínicos com esses estimuladores, há pouco ou quase nenhum estudo aprofundado a respeito dos efeitos celulares e metabólicos em análises *in vitro*. Sendo assim, este estudo teve como principal objetivo fornecer a comunidade científica, análises citotóxicas, metabólicas e do perfil de citocinas desses compostos sem processamento robusto da matéria prima como uma perspectiva inicial da compreensão dos mecanismos celulares e moleculares em fibroblastos. A fim de estudar os mecanismos dos bioestimuladores de colágeno e o processo de rejuvenescimento, a serem abordados, foi selecionada uma linhagem de fibroblastos para os ensaios abordados no Capítulo 2, tendo sido a HFF-1, derivada de prepúcio humano, isolada em 2003, amplamente utilizadas em pesquisas científicas devido a capacidade de mimetizar as funções naturais da pele em estudos de



**SERVIÇO PÚBLICO FEDERAL
UNIVERSIDADE FEDERAL DE UBERLÂNDIA
INSTITUTO DE BIOTECNOLOGIA
PROGRAMA DE PÓS-GRADUAÇÃO EM GENÉTICA E
BIOQUÍMICA**

envelhecimento, cicatrização e regeneração tecidual (CHENG et al., 2023; GE et al., 2023; LIU et al., 2022; YU; MA; ZHOU, 2023).

6. Ozônio e seu potencial estimulatório

O ozônio é um gás triatômico (O_3) conhecido por suas propriedades oxidantes potentes, que têm sido exploradas em várias aplicações médicas e terapêuticas, incluindo o tratamento de feridas, infecções e condições inflamatórias crônicas. O uso do ozônio na dermatologia tem se mostrado promissor devido aos seus efeitos antimicrobianos e de promoção da cicatrização de feridas (BORGES et al., 2017; FITZPATRICK; HOLLAND; VANDERLELIE, 2018; XIAO; WU; BI, 2021; ZENG; LU, 2018).

Este possui uma potente atividade antimicrobiana devido à sua capacidade de gerar radicais livres e oxigênio reativo, que danificam a membrana celular, proteínas e DNA de microrganismos. Estudos demonstraram que a água ozonizada pode efetivamente destruir biofilmes bacterianos, incluindo aqueles formados por *Staphylococcus aureus* e *Pseudomonas aeruginosa*, comuns em infecções cutâneas e feridas crônicas. A água ozonizada demonstrou eficácia em reduzir significativamente a viabilidade bacteriana em biofilmes após apenas 30 segundos de exposição (BIALOSZEWSKI et al., 2011).

Além disso, tem sido usado na terapia de feridas devido à sua capacidade de aumentar a oxigenação do tecido, estimular a migração de fibroblastos e promover a formação de tecido de granulação. Estudos *in vitro* indicam que fibroblastos, tratamento com soluções salinas ozonizadas (nas concentrações 8, 4, 2, 1, 0.5 and 0.25 $\mu\text{g/mL}$) resultou em um aumento significativo na migração de fibroblastos, o que é essencial para a formação de tecido cicatricial durante a cicatrização de feridas (BORGES et al., 2017).

O ozônio, quando aplicado em feridas, gera espécies reativas de oxigênio (EROs) que têm um efeito direto sobre microrganismos patogênicos. Além disso, essas EROs podem modular a resposta imunológica local, ativando macrófagos e aumentando a produção de



**SERVIÇO PÚBLICO FEDERAL
UNIVERSIDADE FEDERAL DE UBERLÂNDIA
INSTITUTO DE BIOTECNOLOGIA
PROGRAMA DE PÓS-GRADUAÇÃO EM GENÉTICA E
BIOQUÍMICA**

citocinas anti-inflamatórias e fatores de crescimento, como o fator de crescimento transformador beta (TGF- β) e o fator de crescimento endotelial vascular (VEGF). Estes fatores são essenciais para a cicatrização de feridas, promovendo a angiogênese e a deposição de colágeno (BORGES et al., 2017; CISTERNA et al., 2021).

Estudos mostraram que o ozônio pode aumentar a expressão de genes envolvidos na síntese de colágeno, estimulando os fibroblastos a sintetizarem mais colágeno, o que resulta em uma pele mais firme e elástica (BORGES et al., 2017).

O ozônio oferece uma abordagem eficaz para a promoção da saúde da pele e o tratamento de condições cutâneas, especialmente no contexto do envelhecimento cutâneo. Suas propriedades antimicrobianas, combinadas com a capacidade de estimular a síntese de colágeno e melhorar a cicatrização de feridas, fazem dele uma ferramenta valiosa na dermatologia. Estudos contínuos são necessários para elucidar completamente os mecanismos moleculares de ação do ozônio e otimizar suas aplicações terapêuticas conforme o presente estudo (BIALOSZEWSKI et al., 2011; BORGES et al., 2017; CISTERNA et al., 2021).

Diante do uso clínico dos bioestimuladores citados, o presente estudo teve como objetivo entender *in vitro* os mecanismos celulares e moleculares em fibroblastos. Foram realizados ensaios citotóxicos e de proliferação, além de análise metabolômica e do perfil de citocinas em cada grupo. Esses aspectos serão detalhados no Capítulo 2, juntamente com os resultados obtidos.



**SERVIÇO PÚBLICO FEDERAL
UNIVERSIDADE FEDERAL DE UBERLÂNDIA
INSTITUTO DE BIOTECNOLOGIA
PROGRAMA DE PÓS-GRADUAÇÃO EM GENÉTICA E
BIOQUÍMICA**

7. Referências Bibliográficas:

- AHN, C. S.; RAO, B. K. The life cycles and biological end pathways of dermal fillers. **Journal of Cosmetic Dermatology**, v. 13, n. 3, p. 212–223, 2014.
- ATTENELLO, N. H.; MAAS, C. S. Injectable fillers: Review of material and properties. **Facial Plastic Surgery**, v. 31, n. 1, p. 29–34, 2015.
- BIALOSZEWSKI, D. et al. Activity of ozonated water and ozone against staphylococcus aureus and pseudomonas aeruginosa biofilms. **Medical Science Monitor**, v. 17, n. 11, p. 339–344, 2011.
- BORGES, G. Á. et al. In vitro evaluation of wound healing and antimicrobial potential of ozone therapy. **Journal of Cranio-Maxillofacial Surgery**, v. 45, n. 3, p. 364–370, 2017.
- BURKE, K. E. Mechanisms of aging and development—A new understanding of environmental damage to the skin and prevention with topical antioxidants. **Mechanisms of Ageing and Development**, v. 172, p. 123–130, 2018.
- CELLENO, L.; TAMBURI, F. **Structure and Function of the Skin**. [s.l.: s.n.].
- CHENG, Y. et al. Maslinic acid attenuates UVB-induced oxidative damage in HFF-1 cells. **Journal of Cosmetic Dermatology**, v. 22, n. 8, p. 2352–2360, 2023.
- CISTERNA, B. et al. Low Ozone Concentrations Differentially affect the structural and functional features of non-activated and activated fibroblasts in vitro. **Internation Journal of Molecular Sciences**, v. 22, 2021.
- DENGJEL, J.; BRUCKNER-TUDERMAN, L.; NYSTRÖM, A. Skin proteomics—analysis of the extracellular matrix in health and disease. **Expert Review of Proteomics**, v. 17, n. 5, p. 377–391, 2020.
- FITZPATRICK, E.; HOLLAND, O. J.; VANDERLELIE, J. J. Ozone therapy for the treatment of chronic wounds: A systematic review. **International Wound Journal**, v. 15, n. 4, p. 633–644, 2018.
- GABLER, C. et al. Biomechanical, Biochemical, and Cell Biological Evaluation of Different



**SERVIÇO PÚBLICO FEDERAL
UNIVERSIDADE FEDERAL DE UBERLÂNDIA
INSTITUTO DE BIOTECNOLOGIA
PROGRAMA DE PÓS-GRADUAÇÃO EM GENÉTICA E
BIOQUÍMICA**

Collagen Scaffolds for Tendon Augmentation. **BioMed Research International**, v. 2018, 2018.

GE, G. et al. Induced skin aging by blue-light irradiation in human skin fibroblasts via TGF- β , JNK and EGFR pathways. **Journal of Dermatological Science**, v. 111, n. 2, p. 52–59, 2023.

HÄNEL, K. H. et al. Cytokines and the skin barrier. **International Journal of Molecular Sciences**, v. 14, n. 4, p. 6720–6745, 2013.

HE, S.; SHARPLESS, N. E. Senescence in Health and Disease. **Cell**, v. 169, n. 6, p. 1000–1011, 2017.

KIRK, T.; AHMED, A.; ROGNONI, E. Fibroblast memory in development, homeostasis and disease. **Cells**, v. 10, n. 11, 2021.

LIU, S. et al. Analysis of senescence-responsive stress fiber proteome reveals reorganization of stress fibers mediated by elongation factor eEF2 in HFF-1 cells. **Molecular Biology of the Cell**, v. 33, n. 1, p. 1–11, 2022.

NOWAG, B. et al. Biostimulating fillers and induction of inflammatory pathways: A preclinical investigation of macrophage response to calcium hydroxylapatite and poly-L lactic acid. **Journal of Cosmetic Dermatology**, v. 23, n. 1, p. 99–106, 2024.

NYSTRÖM, A.; BRUCKNER-TUDERMAN, L. Matrix molecules and skin biology. **Seminars in Cell and Developmental Biology**, v. 89, n. June 2018, p. 136–146, 2019.

PAWELEC, K. M.; BEST, S. M.; CAMERON, R. E. Collagen: a network for regenerative medicine. **Journal of Materials Chemistry B**, v. 4, n. 40, p. 6484–6496, 2016.

PIIPPONEN, M.; LI, D.; LANDÉN, N. X. The immune functions of keratinocytes in skin wound healing. **International Journal of Molecular Sciences**, v. 21, n. 22, p. 1–26, 2020.

ROCHA, A.; MAGALHÃES, S.; NUNES, A. Study Aging by Fibroblasts Metabolome. **Current Molecular Medicine**, v. 21, n. 4, p. 300–317, 2020.

RORTEAU, J. et al. Functional integrity of aging skin, from cutaneous biology to anti-aging strategies. **Medecine/Sciences**, v. 36, n. 12, p. 1155–1162, 2020.

SHOULDERS, M. D.; RAINES, R. T. Collagen structure and stability. **Annual Review of**



**SERVIÇO PÚBLICO FEDERAL
UNIVERSIDADE FEDERAL DE UBERLÂNDIA
INSTITUTO DE BIOTECNOLOGIA
PROGRAMA DE PÓS-GRADUAÇÃO EM GENÉTICA E
BIOQUÍMICA**

Biochemistry, v. 78, p. 929–958, 2009.

SILVA, T. F. DA; PENNA, A. L. B. Colágeno: Características químicas e propriedades funcionais. **Revista do Instituto Adolfo Lutz**, v. 71, n. 3, p. 530–539, 2012.

SORUSHANOVA, A. et al. The Collagen Suprafamily: From Biosynthesis to Advanced Biomaterial Development. **Advanced Materials**, v. 31, n. 1, p. 1–39, 2019.

TOBIN, D. J. Introduction to skin aging. **Journal of Tissue Viability**, v. 26, n. 1, p. 37–46, 2017.

WENGER, M. P. E. et al. Mechanical properties of collagen fibrils. **Biophysical Journal**, v. 93, n. 4, p. 1255–1263, 2007.

WONG, R. et al. The dynamic anatomy and patterning of skin. **Experimental Dermatology**, v. 25, n. 2, p. 92–98, 2016.

XIAO, W. R.; WU, M.; BI, X. R. Ozone oil promotes wound healing via increasing miR-21-5p-mediated inhibition of RASA1. **Wound Repair and Regeneration**, v. 29, n. 3, p. 406–416, 2021.

YU, X.; MA, X.; ZHOU, J. DNMT3A-mediated epigenetic silencing of SOX17 contributes to endothelial cell migration and fibroblast activation in wound healing. **PLoS ONE**, v. 18, n. 10 October, p. 1–13, 2023.

ZARGARAN, D. et al. Facial skin ageing: Key concepts and overview of processes. **International Journal of Cosmetic Science**, v. 44, n. 4, p. 414–420, 2022.

ZENG, J.; LU, J. Mechanisms of action involved in ozone-therapy in skin diseases. **International Immunopharmacology**, v. 56, n. 138, p. 235–241, 2018.

ZERBINATI, N.; CALLIGARO, A. Calcium hydroxylapatite treatment of human skin: Evidence of collagen turnover through picrosirius red staining and circularly polarized microscopy. **Clinical, Cosmetic and Investigational Dermatology**, v. 11, p. 29–35, 2018.



**SERVIÇO PÚBLICO FEDERAL
UNIVERSIDADE FEDERAL DE UBERLÂNDIA
INSTITUTO DE BIOTECNOLOGIA
PROGRAMA DE PÓS-GRADUAÇÃO EM GENÉTICA E
BIOQUÍMICA**

CAPÍTULO II

Metabolomic and IL-6 cytokine profile responses to Calcium Hydroxyapatite and Polylactic Acid in HFF-1 bioestimulation under Ozone Therapy

Ludmilla Sousa Quirino (1); Lucas Correia Peres (1); Mário Fernando Alves Braga (1); Camila Chaud Nunes (1), Natassia Caroline Resende Correa (1), Emília Rezende Vaz (1), Hebreia Oliveira Almeida Souza (1), Mário Machado Martins (1), Natieli Saito (1), Tiara da Costa Silva (1), Flaviana Soares Rocha (3), Leticia de Souza Castro Filice ******(2)

(1) Laboratory of Nanobiotechnology, Prof. Dr. Luiz Ricardo Goulart Filho, Institute of Biotechnology, Universidade Federal de Uberlândia (UFU), Uberlândia – MG, 38400-902, Brazil.

(2) Faculty of Medicine, Universidade Federal de Uberlândia (UFU), Uberlândia – MG, 38400-902, Brazil.

(3) Area of Oral and Maxillofacial Traumatology and Implant Dentistry, Department of Dentistry, Faculty of Health Sciences, Universidade de Brasilia (UNB), Brasilia – DF, 70910-900, Brazil.

******Correspondence: leticiafilice@ufu.br;

Abstract

The study investigates the effects of calcium hydroxyapatite (CaHA) and poly(DL-lactic acid) (PDLA) on human foreskin fibroblasts (HFF-1), particularly in the context of ozone (O₃) therapy. The cell viability assay showed no cytotoxic effects of the bio-stimulators under the tested conditions, with optimal concentrations determined at 300 µg/ml, 100 µg/ml, and 30 µg/ml for CaHA, and 300 µg/ml, 100 µg/ml, and 30 µg/ml for PDLA. Ozone concentrations tested were 5 µg/ml, 10 µg/ml, and 15 µg/ml. The Scratch assay revealed that CaHA and PDLA, both alone and combined with ozone, promoted cell migration and proliferation. Metabolomic



**SERVIÇO PÚBLICO FEDERAL
UNIVERSIDADE FEDERAL DE UBERLÂNDIA
INSTITUTO DE BIOTECNOLOGIA
PROGRAMA DE PÓS-GRADUAÇÃO EM GENÉTICA E
BIOQUÍMICA**

analysis indicated significant activation of inflammatory and collagen synthesis pathways in HFF-1 cells treated with CaHA, PDLA, and ozone. Elevated levels of metabolites such as D-Pantothenic acid and N-(1-Deoxy-1-fructosyl)leucine suggest enhanced biosynthetic activity and oxidative stress responses, contributing to collagen production and tissue renewal. The study concludes that CaHA and PDLA, particularly when combined with ozone, have potential therapeutic applications in enhancing skin regeneration and combating signs of aging.

Keywords: CaHA, PDLA, ozone therapy, metabolomic profile

1. Introduction

The World Health Organization (WHO) recognizes aging as a significant global health challenge. Their focus is on healthy aging, which means extending life expectancy while also promoting good physical and mental health throughout those extra years. Aging is a natural, multifactorial, and heterogeneous process in the human body, characterized by numerous physiological, molecular, and biochemical changes. These alterations are influenced by the lifestyle choices made throughout an individual's life. While these changes may not be systemically significant, they are often readily apparent in physical appearance, primarily due to the decreased availability of collagen in the skin (Burke, 2018; Lemperle et al., 2020; Tobin, 2017; Wei & Ji, 2018; World Health Organization, 2020).

Human skin, a vast organ covering about 1.8 m² of body surface area and constituting about 6% of total body weight, is a complex structure with three primary layers: the epidermis, dermis, and hypodermis. (Celleno & Tamburi, 2009; Roger et al., 2019; Wong et al., 2016). The skin's structural integrity declines as we age, primarily due to decreased collagen production. Collagen, the primary protein in the dermis, provides skin tension and elasticity. In aging, accelerated degradation of collagen and reduced synthesis result in thinner, less elastic



**SERVIÇO PÚBLICO FEDERAL
UNIVERSIDADE FEDERAL DE UBERLÂNDIA
INSTITUTO DE BIOTECNOLOGIA
PROGRAMA DE PÓS-GRADUAÇÃO EM GENÉTICA E
BIOQUÍMICA**

skin, which is more susceptible to damage and injury (Dengjel et al., 2020; Gentleman et al., 2003; Liao et al., 2008; Nyström & Bruckner-Tuderman, 2019; Pawelec et al., 2016; Shoulders & Raines, 2009; Sorushanova et al., 2019; Wenger et al., 2007).

Collagen biosynthesis with other signaling pathways in fibroblasts, such as FGFR signaling, which promotes cell proliferation and differentiation. Dysregulation in these pathways can lead to fibrotic diseases or impaired wound healing, underlining the importance of a balanced metabolic and signaling environment for optimal collagen production. Understanding these interconnected pathways opens avenues for targeted therapeutic strategies in treating fibrotic conditions and enhancing tissue regeneration (Eming et al., 2017; Nyström & Bruckner-Tuderman, 2019; Pereira et al., 2018; Rocha et al., 2020; Sorushanova et al., 2019).

Given the critical role of collagen in skin health, strategies to stimulate collagen production have become essential in combating the visible signs of aging. Various treatments have been developed, aiming to restore the skin's youthful appearance and functionality. Among these, Poly-D-lactic acid (PDLA), Calcium Hydroxylapatite (CaHA), and ozone therapy have gained popularity (Ahn & Rao, 2014; Attenello & Maas, 2015; Chen et al., 2020; Fitzgerald & Vlegaar, 2010; Keni & Sidle, 2007; Lemperle et al., 2020; Tobin, 2017; Zerbinati & Calligaro, 2018).

PDLA is a racemic mixture comprising an equimolar blend of two enantiomers: PLA (poly-L-lactic acid) and PLA (poly-D-lactic acid). These enantiomers exhibit differing spatial orientations of functional groups around a central carbon atom. Renowned for its biocompatibility and biodegradability, PDLA finds significant application in aesthetic medicine as a collagen stimulator. PDLA acts as a scaffold administered into the skin, progressively triggering the body's natural collagen production. This process enhances skin texture and volume without necessitating direct filler augmentation (Ahn & Rao, 2014; Dellacasa et al.,



**SERVIÇO PÚBLICO FEDERAL
UNIVERSIDADE FEDERAL DE UBERLÂNDIA
INSTITUTO DE BIOTECNOLOGIA
PROGRAMA DE PÓS-GRADUAÇÃO EM GENÉTICA E
BIOQUÍMICA**

2016; Fitzgerald & Vleggaar, 2010; Nofar et al., 2019; Nowag et al., 2024; Sun et al., 2011; Yu et al., 2017).

Another biocompatible material is hydroxyapatite calcium (CaHA), a resorbable biostimulatory filler employed similarly to PDLA but with the added benefit of immediate volume replacement due to its unique composition. It offers an immediate filling effect and encourages natural collagen production over time, improving skin quality and firmness (Nowag et al., 2024, 2023). CaHA and PDLA exhibit distinct mechanical properties, triggering collagen production via separate action pathways. CaHA filler facilitates volume replacement concurrently with its gradual replacement by naturally induced collagen over time. Conversely, PDLA stimulates a bodily inflammatory response that fosters collagen synthesis (Attenello & Maas, 2015; Berlin et al., 2008; Breithaupt & Fitzgerald, 2015; De Melo et al., 2017; Nowag et al., 2024; Use, 2013; Zerbinati & Calligaro, 2018).

From a different angle, ozone therapy, which entails introducing ozone gas into or onto the body, is hypothesized to elevate oxygen levels and trigger biological processes, such as skin rejuvenation and collagen production. While less conventional, proponents argue that it enhances cellular oxygenation and stimulates antioxidant mechanisms, potentially fostering healthier and more robust skin (Bialoszewski et al., 2011; Borges et al., 2017; Zeng & Lu, 2018).

Although the clinical applications and aesthetic benefits of these substances are well known, there is limited information about their mechanisms of action. This study aims to analyze the cellular and metabolic processes of clinically relevant substances in promoting collagen production. By delving into the mechanisms these substances activate in fibroblasts, we aim to significantly advance the scientific understanding in the dermatological, physiological, and pharmaceutical fields



**SERVIÇO PÚBLICO FEDERAL
UNIVERSIDADE FEDERAL DE UBERLÂNDIA
INSTITUTO DE BIOTECNOLOGIA
PROGRAMA DE PÓS-GRADUAÇÃO EM GENÉTICA E
BIOQUÍMICA**

2. Materials and methods

a. Cell culture

Human foreskin fibroblasts (HFF-1), acquired from the Rio de Janeiro Cell Bank (BCRJ/No. 0275), were cultured in Dulbecco's Modified Eagle's Medium (DMEM High Glucose, Gibco™) supplemented with 15% fetal bovine serum (FBS, Cultilab®) and 1X antibiotic-antimycotic solution (Anti-Anti, Gibco™) in a CO₂ incubator at 37°C, 5% CO₂ in the Laboratory of Nanobiotechnology, Prof. Dr. Luiz Ricardo Goulart Filho, at the Institute of Biotechnology (IBTEC) of the Federal University of Uberlândia (UFU). The experiments used cells between passages 26 and 33, aiming for estimated confluence and viability above 85%.

b. Preparation and handling of PDLA, CaHA, and ozone collection

The activity of fibroblasts was analyzed upon contact with substances that stimulate collagen production in clinical aesthetic pharmacy, specifically calcium hydroxyapatite [30 µm] (CaHA) (LabTest®) at concentrations of 300 µg/ml, 100 µg/ml, and 30 µg/ml; and poly-lactic acid (PDLA) (Sigma-Aldrich®), diluted in ultrapure type I water (Mili-Q®). Both concentrations and conditions of use were followed and adapted from clinical practice protocols (Cisterna et al., 2021; Fitzgerald & Vleggaar, 2010; Goldie et al., 2018).

Furthermore, the study aimed to evaluate ozone gas (O₃) as a potential enhancer of the effects of the biostimulators on collagen production and an agent capable of eliciting this physiological response. Thus, both non-associated and associated use of CaHA and PDLA, at the respective concentrations, were tested at 5 µg/ml, 10 µg/ml, and 15 µg/ml in ozonized high glucose DMEM medium. Ozone gas was collected in 10 ml syringes (Descarpack®) from the ozone generator (Ozone&Life®) for *in vitro* experiments.

For the analyses, the following combinations were tested: PDLA + O₃, CaHA + O₃, as well as individual treatments with PDLA, CaHA, and O₃. Each combination and individual treatment was tested at three different concentrations of each biostimulator.



**SERVIÇO PÚBLICO FEDERAL
UNIVERSIDADE FEDERAL DE UBERLÂNDIA
INSTITUTO DE BIOTECNOLOGIA
PROGRAMA DE PÓS-GRADUAÇÃO EM GENÉTICA E
BIOQUÍMICA**

c. Cell Viability Assay by resazurin reduction

Initially, HFF-1 was transferred to a black microplate with a clear bottom for 96-well cell culture (CellStar®, Greiner Bio-One) with 2×10^4 cells per well and treated with the bio-stimulators (10 μ L) at the concentrations described for 24 hours, stored in a 37°C, 5% CO₂ incubator. As an experimental control, untreated HFF-1 cells were cultured in high glucose DMEM supplemented with 15% FBS, and in another control, cells were treated with 10% DMSO. The assay was performed in triplicate (Riss et al., 2004).

Subsequently, 20 μ L of resazurin solution at a final concentration of 0.15 mg/ml was added to each well and incubated for 4 hours, with evaluation at 1 to 4 hours per protocol to determine reduction based on the untreated control (positive).

Fluorimetric analysis was conducted using the EnSpire® Multimode Plate Reader, Detection occurred at an emission wavelength of 590 nm, with excitation at 560 nm. The following formula was used for calculations:

$$\% \text{ resazurin} = \frac{FI \ 590 \text{ of treated cells}}{FI \ 590 \text{ of control}} \times 100$$

In an independent experiment, HFF-1 cells were treated with PMA (Phorbol-12-myristate-13-acetate) (Sigma®) and LPS (Lipopolysaccharide from Salmonella, reconstituted in 1x PBS), both at a concentration of 1 mg/mL, to induce an inflammatory response without compromising the viability of the cultured cells. A serial dilution was performed (1:2 to 1:128 dilutions) in an incomplete DMEM medium (without FBS)-

d. Cell migration and proliferation analysis by Scratch assay

Scratch assay (Martinotti & Ranzato, 2020) is a valuable tool for understanding the cellular mechanisms involved in wound healing, cell migration, and proliferation. It provides essential insights for research in cell biology, regenerative medicine, and pharmacology. For this assay, 5×10^4 cells were seeded per well in a 24-well microplate (Falcon®).



**SERVIÇO PÚBLICO FEDERAL
UNIVERSIDADE FEDERAL DE UBERLÂNDIA
INSTITUTO DE BIOTECNOLOGIA
PROGRAMA DE PÓS-GRADUAÇÃO EM GENÉTICA E
BIOQUÍMICA**

After cell adhesion, a scratch was strategically created perpendicular to the bottom of the well using a 200 μL pipette tip. Subsequently, the wells were gently washed with 1x PBS to remove non-adherent cells. Next, the cells were exposed to CaHA (30 $\mu\text{g/ml}$), PDLA (100 $\mu\text{g/ml}$), and ozone (10 $\mu\text{g/ml}$), with concentrations determined based on cell viability results. Cultures were maintained in a 37°C, 5% CO_2 incubator to enable assessment of collective cell proliferation and migration. Cells were visualized and photodocumented by microscopy at 0h, 8h, 24h and 48h for analysis using ImageJ® software.

The following formula was employed for calculating the closure area:

$$\% \text{ wound closure} = \left[\frac{A_{t=0h} - A_{t=\Delta h}}{A_{t=0h}} \right] \times 100\%$$

In this equation, $A_{t=0h}$ corresponds to the area immediately after scratching, and $A_{t=\Delta h}$ represents the area at the time point Δh . Regarding the migration rate, the ratio of the difference between initial (W_i) and final (W_f) widths to time (t) in hours is calculated as follows:

$$\text{Migration rate} = \frac{W_i - W_f}{t}$$

e. Metabolic Analysis by Mass Spectrometry

HFF-1 cells were plated in a 96-well plate with 2×10^4 cells per well and exposed to the bio-stimulators (CaHA 30 $\mu\text{g/ml}$ and PDLA 100 $\mu\text{g/ml}$) and ozone (10 $\mu\text{g/ml}$) as previous. To understand the metabolic profile of the proposed study, 100 μL of each group were aliquoted, and 1000 μL of methanol (J.T. Baker®, Avantor Performance Materials, S.A, Mexico) were added to a 2 ml microtube and vortexed for 5 minutes.

After homogenization, the samples were centrifuged for 15 minutes at 13000 $\times g$, and the supernatant was transferred to a 2 ml microtube subjected to overnight vacuum concentration (GeneVac™ miVac Duo Concentrator, Fisher Scientific®). Subsequently, the material was resuspended in 400 μL of methanol and vortexed for 10 minutes.



**SERVIÇO PÚBLICO FEDERAL
UNIVERSIDADE FEDERAL DE UBERLÂNDIA
INSTITUTO DE BIOTECNOLOGIA
PROGRAMA DE PÓS-GRADUAÇÃO EM GENÉTICA E
BIOQUÍMICA**

Upon completion of the metabolite extraction process, the samples were filtered through a 0.22 μm filter and transferred to 2 ml vials (Clear Glass, Flat Base, Alwsci Technologies®), which were then injected into a high-resolution mass spectrometer of the Q-TOF type (model 6520B, Agilent®) with electrospray ionization (ESI) source.

The components were analyzed using a high-resolution mass spectrometry technique, considering a margin of error of less than ten ppm regarding the exact mass. MassHunter Qualitative v.10.0 software was used for raw data processing, and the Molecular Feature Extraction tool was used for the extraction of mass spectra and conversion.

Agilent Mass Profiler Professional software version B. 13.1.1 filtered and aligned the obtained molecular compounds, followed by identification through the METLIN database. These data were compared with databases and information available in the literature.

f. Cytokine analysis by flow cytometry

For cytokine analysis, the CBA Human Inflammatory Cytokines Kit (BD Biosciences®) was used. Briefly, cells were exposed to CaHA (30 $\mu\text{g}/\text{ml}$), PDLA (100 $\mu\text{g}/\text{ml}$), ozone (10 $\mu\text{g}/\text{ml}$), and 6,25 $\mu\text{g}/\text{ml}$ Phorbol 12-Myristate 13-Acetate (PMA) (Sigma Aldrich®, USA), their supernatants collected and used after 24 hours of incubation.

According to the kit protocol guidelines, cytometry standard samples were prepared, and the capture microbeads were mixed correctly. Subsequently, 50 μL of these microbeads, 50 μL of human standard inflammatory cytokine sample, and 50 μL of the samples were added to the test tubes. The detection reagent, in a volume of 50 μL , was then added, and the tubes were incubated for 3 hours at room temperature, protected from light.

After the incubation period, 1 mL of wash buffer was added to each test tube and centrifuged at 200 x g for 5 minutes. The supernatant was carefully discarded, and 300 μL of buffer for resuspending the microbead pellet was added. Finally, the samples were analyzed on the flow cytometer (BD Accuri™ C6, Becton Dickson, New Jersey, USA).

Before data extraction, a threshold adjustment of 1,000,000 in FSC and 50,000 in FL4 was applied to the samples to clean the files. After this step, the files were downloaded in FCS



**SERVIÇO PÚBLICO FEDERAL
UNIVERSIDADE FEDERAL DE UBERLÂNDIA
INSTITUTO DE BIOTECNOLOGIA
PROGRAMA DE PÓS-GRADUAÇÃO EM GENÉTICA E
BIOQUÍMICA**

format and the results were analyzed using CBA Analysis Software v. 1.1.15 from BD Biosciences.

g. Statistical Analysis

After quantification in each experiment, the means were determined, and statistical analysis was conducted using GraphPad Prism® 8.0.2 software (GraphPad Software Inc., San Diego, CA, USA). This analysis included checking for normality using the Shapiro-Wilk test and applying one-way analysis of variance (ANOVA) with Tukey's post hoc test, where probability values of 0.05% were considered statistically significant.

3. Results

a. Cell Viability Assay by resazurin reduction for determining optimal concentrations of PDLA, CaHA and ozone.

The results obtained from the resazurin reduction assay demonstrate that the HFF-1 cells, which were subjected to bio-stimulators at specified concentrations (**Figure 1**), did not exhibit any significant reduction in cell viability compared to the untreated control according with ISO 10993-3. This suggests that the bio-stimulators had no cytotoxic effect on the fibroblasts under the conditions tested. Furthermore, the assay helped to validate the viability of the cells utilized in the experiment, thus ensuring the reliability of the data for further analysis.



SERVIÇO PÚBLICO FEDERAL
UNIVERSIDADE FEDERAL DE UBERLÂNDIA
INSTITUTO DE BIOTECNOLOGIA
PROGRAMA DE PÓS-GRADUAÇÃO EM GENÉTICA E
BIOQUÍMICA

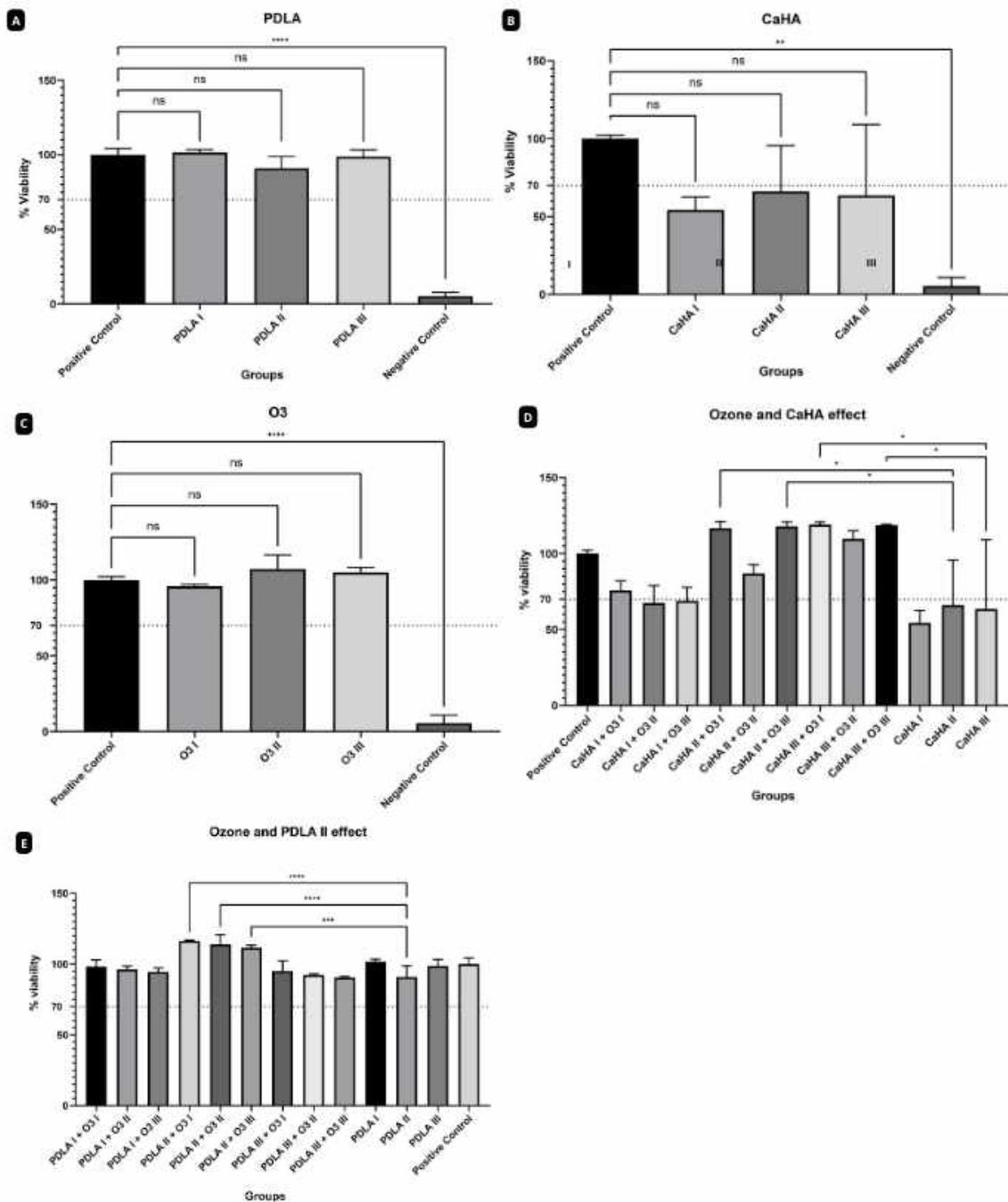


Figure 1: Statistical Analysis of bio-stimulators with and without ozone treatment. Graphs representing the statistical analysis of bio-stimulators (Panels A-E), isolated and combined with ozone. No significant differences were observed between



**SERVIÇO PÚBLICO FEDERAL
UNIVERSIDADE FEDERAL DE UBERLÂNDIA
INSTITUTO DE BIOTECNOLOGIA
PROGRAMA DE PÓS-GRADUAÇÃO EM GENÉTICA E
BIOQUÍMICA**

the positive control group (HFF-1 cells untreated and cultured in high-glucose DMEM) and the treated groups, indicating no toxic effects from the treatments.

Figure 1 displays the graphs from the bio-stimulator statistical analysis, both in isolation and when combined with ozone. According to the data, no toxic effects on HFF-1 cells were observed. Images of the wells clearly show visual impairment in the CaHA group due to saturation at different concentrations, indicating the need for a more effective solvent and the crystallization of PDLA, highlighting its amphiphilic nature. The primary objective of this study was to evaluate the compounds in their original conditions, as they are used on clinical practice, without substantial modifications to improve solubility, serving as an initial reference for the unprocessed material study.

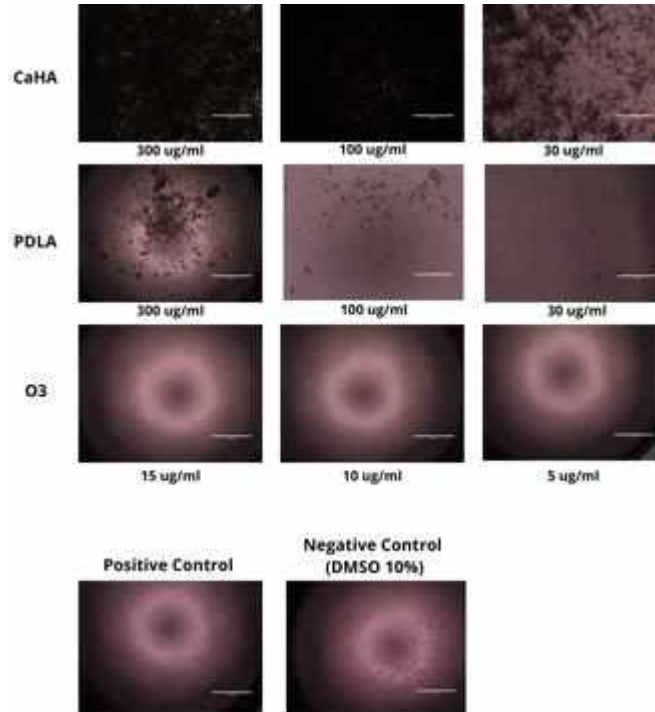


Figure 2: Microscopic images of bio-stimulators with and without ozone treatment. Images represent the isolated bio-stimulators in HFF-1 cells. The top row shows Calcium Hydroxyapatite (CaHA) at concentrations of 300 $\mu\text{g/ml}$, 100 $\mu\text{g/ml}$, and 30 $\mu\text{g/ml}$. The middle row shows Poly-lactic acid (PDLA) at concentrations of 300 $\mu\text{g/ml}$, 100 $\mu\text{g/ml}$, and 30 $\mu\text{g/ml}$. The bottom row depicts Ozone (O3) treatment at concentrations of 15 $\mu\text{g/ml}$, 10 $\mu\text{g/ml}$, and 5 $\mu\text{g/ml}$. The last row includes the positive control, only HFF-1, and negative control (10% DMSO) for comparison.



**SERVIÇO PÚBLICO FEDERAL
UNIVERSIDADE FEDERAL DE UBERLÂNDIA
INSTITUTO DE BIOTECNOLOGIA
PROGRAMA DE PÓS-GRADUAÇÃO EM GENÉTICA E
BIOQUÍMICA**

The ozone-treated samples did not show visual changes, which was anticipated due to the gaseous conditions. Furthermore, there was no need for image compilation in the combination treatments as there were no significant changes compared to the other groups. Image recording was performed before the assay, and resazurin was added, acting as a quality control measure. Fluorescence was assessed due to its higher sensitivity, as reported in the literature, and considering the saturation of some compounds that impeded absorbance analysis.

b. Cell migration and proliferation analysis by Scratch assay

Cell migration and proliferation was assessed by the scratch assay, treating cells with PDLA (100 $\mu\text{g/ml}$), O₃ (10 $\mu\text{g/ml}$), and CaHA (30 $\mu\text{g/ml}$), as well as untreated cells for control (Figure 5).

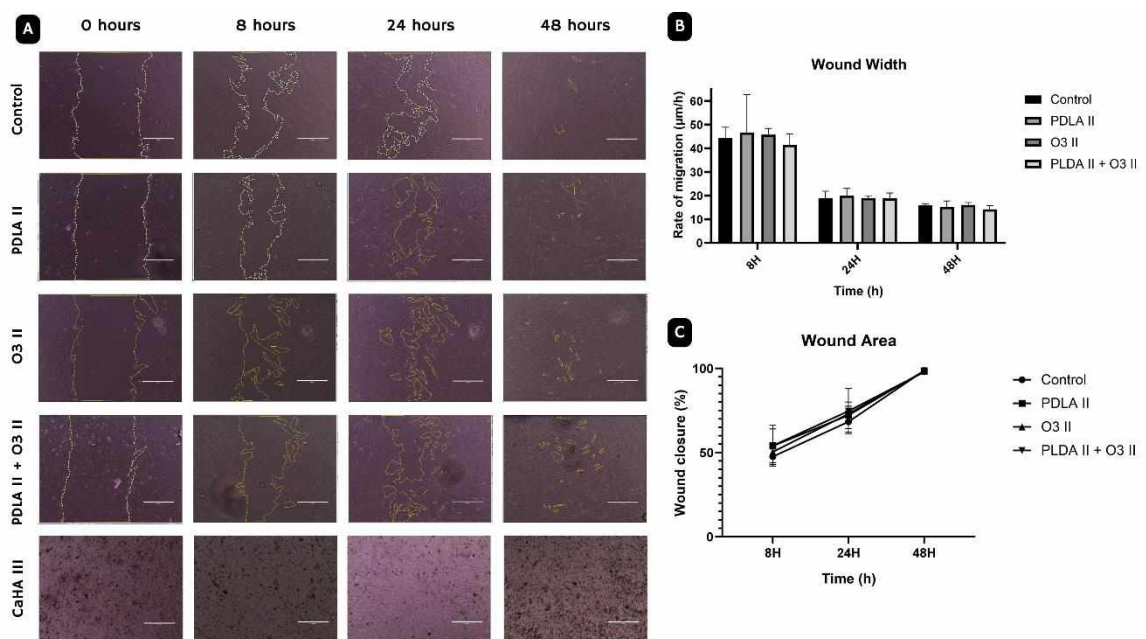


Figure 3: Cell migration was evaluated using the Scratch Assay under different experimental conditions. (A) The images show HFF-1 migration at 0, 8, 24, and 48 hours for the control, PDLA II, O₃ II, PDLA II + O₃, and CaHA III groups. Yellow marks indicate the boundaries of the cell-free area (scratch) at each time point. (B) Quantitative analysis is provided for the migration rate ($\mu\text{m/h}$) at each time point. (C) The percentage of wounds over time is shown for each group.



**SERVIÇO PÚBLICO FEDERAL
UNIVERSIDADE FEDERAL DE UBERLÂNDIA
INSTITUTO DE BIOTECNOLOGIA
PROGRAMA DE PÓS-GRADUAÇÃO EM GENÉTICA E
BIOQUÍMICA**

The qualitative (**Figure 3a**) observations revealed that the PDLA II, O3 II, and PDLA II + O3 II conditions exhibited significant cell migration and wound closure similar to the control. However, the CaHA III condition could not be analyzed due to granularity. Quantitative measurements (**Figure 3b-c**) showed that PDLA II, O3 II, and their combination had comparable migration rates and wound closure percentages to the control group, with over 80% closure at 48 hours. Conversely, CaHA III demonstrated significantly lower migration rates and less than 20% wound closure. These findings suggest that PDLA II and O3 II effectively promote cell migration, while CaHA III was not suitable for investigation.

c. Metabolic Analysis by Mass Spectrometry

We evaluated the metabolic profile of human fibroblasts (HFF-1) following exposure to CaHA, PDLA, and ozone using high-resolution mass spectrometry. The analyses were conducted across twelve experimental groups, each with six replicates, as detailed below:

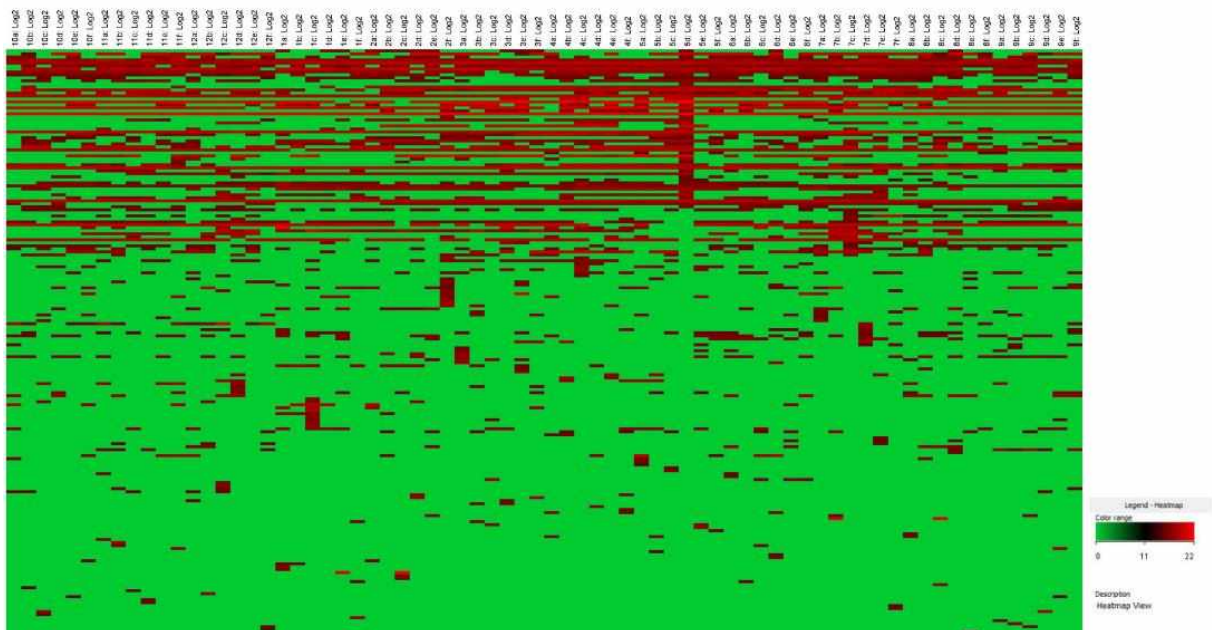


Figure 6: Metabolic Profile Analysis of HFF-1 under Different Treatments. Each group represents human fibroblasts (HFF-1) subjected to various combinations of PMA, CaHA, PDLA, and ozone. Overall Metabolite Heatmap: The heatmap



**SERVIÇO PÚBLICO FEDERAL
UNIVERSIDADE FEDERAL DE UBERLÂNDIA
INSTITUTO DE BIOTECNOLOGIA
PROGRAMA DE PÓS-GRADUAÇÃO EM GENÉTICA E
BIOQUÍMICA**

displays the expression profile of the identified metabolites across the different experimental groups. Each row in the heatmap represents a specific metabolite, while each column represents an individual sample from the experimental groups. The colors on the heatmap spectrum from green to red, indicate the intensity of metabolite expression, with green denoting low expression and red denoting high expression. The color variations mirror the \log_2 changes in metabolite levels between the different experimental conditions.

A total of 196 metabolites were identified during the analysis. Differentially expressed metabolites were selected for 26 combinations (**Figure 4**), with no metabolites found in 2 combinations. The selection criteria for the metabolites (**Figure 4**) were based on statistical significance and biological relevance. Specifically, metabolites with a p -value < 0.05 were considered statistically significant. Additionally, the changes in abundance with the presence of PMA and their known involvement in inflammatory processes, collagen synthesis, or cellular stress responses were evaluated.



SERVIÇO PÚBLICO FEDERAL
UNIVERSIDADE FEDERAL DE UBERLÂNDIA
INSTITUTO DE BIOTECNOLOGIA
PROGRAMA DE PÓS-GRADUAÇÃO EM GENÉTICA E
BIOQUÍMICA

| Metabolite | Synonyms | Biological Relevance | Regulation | HMDB | PubChem | ChEBI | KEGG | References |
|--------------------------------|--|---|------------|--------|-----------|--------|-----------|---|
| N-(1-Deoxy-1-fructosyl)leucine | Fructose-leucine/ 1-[(1-Carboxy-3-methylbutyl)amino]-1-deoxyfructose | Potential indicator of inflammatory or stress response | Up | 37840 | 131752244 | 136629 | Not found | Bernardo-Bermejo et al., 2019, 2023; García et al., 2022; Sanchez-Espirilla et al., 2023) |
| D-Pantothenic acid | | Precursor of Coenzyme A | Up | 210 | 6613 | 7916 | C00864 | Dattola et al., 2020; Peltier et al., 2022; Scott et al., 2022; Srivastava et al., 2014; Zhang et al., 2024 |
| Trp-P-1 | 3-Amino-1,4-dimethyl-5H-pyrido[4,3-b]indole | Related to protein synthesis and amino acid metabolism | Down | 29746 | 5284474 | 82376 | C19306 | Hashimoto et al., 2004; Yamazoe et al., 2023; Yun et al., 2006 |
| 3-Methylhexanal | | Indicator of oxidative stress, but lack of evidences related with human | Up | 32405 | 140511 | 88822 | Not found | Magnano et al., 2024; Saxena et al., 2021 |
| Xestoaminol C | (2S,3R)-2-aminotetradecan-3-ol | Related to cellular signaling or stress response | Up | 304813 | 14756407 | 73882 | Not found | Abraham et al., 2008; Eming et al., 2017; Nováková et al., 2020 |
| Prolyl-Arginine | Pro-Arg | Associated with oxidative stress | Down | 29011 | 151004 | 73645 | Not found | Wang et al., 2009 |



**SERVIÇO PÚBLICO FEDERAL
UNIVERSIDADE FEDERAL DE UBERLÂNDIA
INSTITUTO DE BIOTECNOLOGIA
PROGRAMA DE PÓS-GRADUAÇÃO EM GENÉTICA E
BIOQUÍMICA**

Table 1: Key Metabolites identified in HFF-1 stimulated with PMA, PDLA, CaHA, and O₃. This table summarizes the key metabolites identified in the metabolomic profiling of HFF-1 under various stimulation conditions. The metabolites are listed alongside their synonyms, biological relevance for the study, regulation status, database identification, and literature.

The results indicate a significant activation of inflammatory and collagen synthesis pathways in HFF-1 fibroblasts treated with PDLA, CaHA, and O₃. PDLA is known to induce a controlled inflammatory response that promotes collagen production. This effect is corroborated by the elevated presence of inflammatory metabolites, such as N-(1-Deoxy-1-fructosyl)leucine (Bernardo-Bermejo et al., 2019, 2023; García et al., 2022; Sanchez-Espirilla et al., 2023). Furthermore, the increase in metabolites like 3-methylhexanal (Magnano et al., 2024; Saxena et al., 2021) is related to oxidative stress, that could be related to the regenerative and healing processes (Table 1).

Similarly, CaHA serves as a matrix for collagen deposition, directly stimulating fibroblasts. The elevation of metabolites related to collagen synthesis, such as D-Pantothenic acid (Dattola et al., 2020; Peltier et al., 2022; Scott et al., 2022; Srivastava et al., 2014; Zhang et al., 2024), indicates that CaHA facilitates the biosynthetic activity. Moreover, metabolites like Xestoaminol C (Abraham et al., 2008; Eming et al., 2017; Nováková et al., 2020) suggest modulation of inflammatory responses and cellular signaling, which are crucial for tissue remodeling. When O₃ is combined with CaHA, there is modulation of inflammatory responses and cellular signaling, as indicated by metabolites like Xestoaminol C. Thus, CaHA, acting as a matrix for collagen deposition, benefits from inflammatory properties of O₃. The controlled inflammatory response induced by O₃ can enhance the efficacy of CaHA in stimulating fibroblasts for collagen production, resulting in more effective tissue remodeling.

Additionally, ozone, known for its inflammatory properties, induces the positive regulation of inflammatory compounds, suggesting the activation of these pathways. Presence of metabolites associated with oxidative stress, such as 3-methylhexanal, related to alteration in cellular redox balance, promoting adaptive responses.



**SERVIÇO PÚBLICO FEDERAL
UNIVERSIDADE FEDERAL DE UBERLÂNDIA
INSTITUTO DE BIOTECNOLOGIA
PROGRAMA DE PÓS-GRADUAÇÃO EM GENÉTICA E
BIOQUÍMICA**

The combination of ozone (O₃) with PDLA showed interesting results at the metabolic level of HFF-1 fibroblasts. O₃ is known to induce inflammatory and oxidative stress responses, which can potentially complement the effects of PDLA in promoting collagen synthesis. The presence of metabolites associated with oxidative stress and inflammation, such as 3-Methylhexanal, could indicate that O₃ intensifies the controlled inflammatory response already induced by PDLA. This synergy can result in greater collagen production and tissue renewal, leveraging the regenerative properties of PDLA and the pro-inflammatory effects of O₃, but it is necessary more studies and evidence related to this response.

Considering the lack of evidence regarding the direct link between Trp-P-1 (3-Amino-1,4-dimethyl-5H-pyrido[4,3-b]indole) and protein synthesis and its known role in carcinogenesis, it would be prudent to interpret its presence in this study showing a negative regulation as due to suppressed activity with the treatments (Hashimoto et al., 2004; Yamazoe et al., 2023; Yun et al., 2006).

The treatments with PDLA, CaHA, and O₃ demonstrate the induction of a controlled inflammatory response that promotes collagen production. The increase in pantothenic acid could be related to the metabolic and biosynthetic activity of the cells. Additionally, the oxidative stress-indicative metabolites suggest that these treatments promote tissue renewal through stress response mechanisms.

Therapeutically, these findings support the use of PDLA, CaHA, and O₃ in aesthetic contexts to promote collagen production and tissue renewal. The induction of controlled inflammatory pathways and the modulation of cellular metabolism are key mechanisms through which these compounds exert their beneficial effects.

Moreover, PMA (Phorbol 12-myristate 13-acetate) is a well-known activator of protein kinase C (PKC) and is used to induce a cellular inflammatory response. Exposure to PMA resulted in significant changes in the metabolic profile of HFF-1 fibroblasts, evidenced by the



**SERVIÇO PÚBLICO FEDERAL
UNIVERSIDADE FEDERAL DE UBERLÂNDIA
INSTITUTO DE BIOTECNOLOGIA
PROGRAMA DE PÓS-GRADUAÇÃO EM GENÉTICA E
BIOQUÍMICA**

up-regulation of inflammatory metabolites such as N-(1-Deoxy-1-fructosyl)leucine and D-Pantothenic acid, and down-regulation of Prolyl-Arginine (Wang et al., 2009).

These changes indicate a robust activation of inflammatory pathways and an increase in biosynthetic activity, essential for collagen production. The combination intensifies the inflammatory response, further increasing collagen production due to the synergy between PKC activation by PMA and the regenerative responses induced by PDLA. Inflammatory and oxidative stress metabolites are significantly elevated, suggesting a highly reactive cellular environment conducive to tissue remodeling.

The addition of PMA to CaHA treatment enhances fibroblast stimulation. Metabolites related to collagen synthesis and inflammation are increased, indicating that PMA amplifies the effects of CaHA in promoting collagen production. The combination of O₃ and PMA results in an exacerbated inflammatory and oxidative stress response. The high levels of inflammatory metabolites suggest that PMA enhances the pro-inflammatory effects of O₃, creating a cellular environment that favors tissue renewal and collagen production.

To strengthen the conclusions and expand the analysis spectrum of these compounds' effects, further studies are necessary, such as gene expression profiling to identify genes related to collagen synthesis, protein expression assays, and quantification of these inflammatory markers.

d. Cytokine analysis by flow cytometry

Unfortunately, quantitative analysis of the cytokines was not possible due to a technical issue with the software. Other software programs were tested, but they also showed irregularities in extracting the results. The scientific-technical support from BD Biosciences was contacted, and as of now, the results have not been obtained.

4. Discussion

The study's findings demonstrate that calcium hydroxyapatite (CaHA) and poly(DL-lactic acid) (PDLA) at tested concentrations (300 µg/ml, 100 µg/ml, 30 µg/ml for both), along with ozone (O₃) therapy (5 µg/ml, 10 µg/ml, 15 µg/ml), effectively promote the biostimulation



**SERVIÇO PÚBLICO FEDERAL
UNIVERSIDADE FEDERAL DE UBERLÂNDIA
INSTITUTO DE BIOTECNOLOGIA
PROGRAMA DE PÓS-GRADUAÇÃO EM GENÉTICA E
BIOQUÍMICA**

of human foreskin fibroblasts (HFF-1) without exhibiting cytotoxic effects. This was verified through the resazurin reduction assay, confirming cell viability across all treatment groups (Borges et al., 2017; Cisterna et al., 2021; Dellacasa et al., 2016; Nowag et al., 2024; Zerbinati & Calligaro, 2018).

Furthermore, Scratch assay results indicated enhanced cell migration and proliferation when HFF-1 cells were treated with CaHA and PDLA, both alone and in combination with ozone. Other studies demonstrated similar behavior with derived compounds, such as ozone oil promoting wound healing on fibroblasts (Xiao et al., 2021) and hydroxyapatite enhanced bone growth due to cell's migration (Lemoine et al., 2022).

The metabolomic analysis provided valuable insights, revealing a significant activation of inflammatory and collagen synthesis pathways in fibroblasts following treatment with CaHA, PDLA, and ozone. Although concrete evidence and *in vitro* studies were absent, educated inferences were made about the significance of each metabolite and its biological relevance, as outlined in the results.

In addition, the qualitative cytokine analysis using the CBA Human Inflammatory Cytokines Kit highlighted the presence of IL-6 in all treated groups, including those stimulated with PMA. IL-6's role in regulating immune and inflammatory responses, crucial for effective tissue repair and collagen synthesis, underlines the importance of the inflammatory response in enhancing collagen production and supports the therapeutic benefits of combining CaHA and PDLA with ozone therapy.

It's important to note that the presence of Trp-P-1 (3-Amino-1,4-dimethyl-5H-pyrido[4,3-b]indole) in this study, showing negative regulation, does not necessarily imply a direct link between Trp-P-1 and protein synthesis. Given its known role in carcinogenesis, it would be prudent to interpret its presence as a result of suppressed activity with the treatments (Hashimoto et al., 2004; Yamazoe et al., 2023; Yun et al., 2006). These treatments with PDLA, CaHA, and O₃ appear to induce a controlled inflammatory response that promotes collagen production, suggested by the increase in pantothenic acid, enhancing the metabolic and



**SERVIÇO PÚBLICO FEDERAL
UNIVERSIDADE FEDERAL DE UBERLÂNDIA
INSTITUTO DE BIOTECNOLOGIA
PROGRAMA DE PÓS-GRADUAÇÃO EM GENÉTICA E
BIOQUÍMICA**

biosynthetic activity of the cells essential for collagen production. Additionally, the presence of oxidative stress-indicative metabolites suggests that these treatments promote tissue renewal through stress response mechanisms.

Moreover, exposure to PMA (Phorbol 12-myristate 13-acetate) results in significant changes in the metabolic profile of HFF-1 fibroblasts (Figure 10), evidenced by the up-regulation of inflammatory metabolites such as N-(1-Deoxy-1-fructosyl)leucine and D-Pantothenic acid, and down-regulation of Prolyl-Arginine (Wang et al., 2009). These changes indicate a robust activation of inflammatory pathways and an increase in biosynthetic activity, essential for collagen production. The combination intensifies the inflammatory response, further increasing collagen production due to the synergy between PKC activation by PMA and the regenerative responses induced by PDLA. The study shows that inflammatory and oxidative stress metabolites are significantly elevated, suggesting a highly reactive cellular environment conducive to tissue remodeling.

Additionally, the addition of PMA to CaHA treatment enhances fibroblast stimulation. Metabolites related to collagen synthesis and inflammation are increased, indicating that PMA amplifies the effects of CaHA in promoting collagen production. The combination of O₃ and PMA results in an exacerbated inflammatory and oxidative stress response. The high levels of inflammatory metabolites suggest that PMA enhances the pro-inflammatory effects of O₃, creating a cellular environment favorable for tissue renewal and collagen production. To further strengthen the conclusions and expand the analysis spectrum of these compounds' effects, additional studies are necessary, such as gene expression profiling to identify genes related to collagen synthesis, protein expression assays, and quantification of inflammatory markers.

5. Conclusion

This study aimed to investigate the effects of different concentrations of calcium hydroxyapatite (CaHA) and poly(DL-lactic acid) (PDLA), both individually and in combination with ozone (O₃) therapy, on the biostimulation of human foreskin fibroblasts (HFF-1) and collagen production. The results indicated that these substances do not exhibit



**SERVIÇO PÚBLICO FEDERAL
UNIVERSIDADE FEDERAL DE UBERLÂNDIA
INSTITUTO DE BIOTECNOLOGIA
PROGRAMA DE PÓS-GRADUAÇÃO EM GENÉTICA E
BIOQUÍMICA**

cytotoxic effects at the tested concentrations (CaHA: 300 µg/ml, 100 µg/ml, 30 µg/ml; PDLA: 300 µg/ml, 100 µg/ml, 30 µg/ml; Ozone: 5 µg/ml, 10 µg/ml, 15 µg/ml). Furthermore, the Scratch assay demonstrated that CaHA and PDLA, both alone and combined with ozone, promote fibroblast migration and proliferation.

Additionally, metabolomic analysis revealed significant alteration of inflammatory and collagen synthesis pathways in fibroblasts treated with CaHA, PDLA, and ozone. Elevated levels of metabolites such as D-Pantothenic acid and N-(1-Deoxy-1-fructosyl)leucine suggest enhanced biosynthetic activity and oxidative stress responses, contributing to collagen production and tissue renewal.

Furthermore, qualitative cytokine analysis using the CBA Human Inflammatory Cytokines Kit indicated the presence of IL-6 across all treated groups, including those stimulated with PMA. This finding suggests that the treatments promote an inflammatory response that is consistent with increased collagen synthesis, as IL-6 is a key regulator of immune and inflammatory responses.

In conclusion, CaHA and PDLA, especially when combined with ozone therapy, show significant potential for enhancing skin regeneration and combating signs of aging. These findings pave the way for further investigations into the molecular mechanisms underlying these effects and support their application in clinical dermatology and aesthetic medicine. Future research should focus on validating these effects *in vitro* and *in vivo* and exploring the detailed molecular pathways involved, providing a solid foundation for clinical and therapeutic applications.

Author's Contributions: Study conception and design: Quirino, L.S, Filice, L.S.C, Correa, N.C.R, Rocha, F.S; Saito, N; samples preparation and ozone collect: Quirino, L.S and Peres, L.C; cell viability assay: Quirino, L.S and Peres, L.C; migration assay: Quirino, L.S and Peres, L.C; metabolomic assay: Quirino, L.S, Braga, M.F.A, Souza, H.O.A, Martins, M.M; CBA assay: Quirino, L.S; Saito, N, Vaz, E.R and Nunes, C.C; data acquisition: Quirino, L.S, Peres, L.C,



**SERVIÇO PÚBLICO FEDERAL
UNIVERSIDADE FEDERAL DE UBERLÂNDIA
INSTITUTO DE BIOTECNOLOGIA
PROGRAMA DE PÓS-GRADUAÇÃO EM GENÉTICA E
BIOQUÍMICA**

Braga, M.F.A, Souza, H.O.A, Vaz, E.R and Nunes, C.C; data analysis and interpretation: Quirino, L.S, Peres, L.C, Silva, T.C; manuscript drafting: Quirino, L.S; final manuscript review: Filice, L.S.C; Correa, N.C.R.

Funding: Coordination for the Improvement of Higher Education Personnel (Capes), National Council for Scientific and Technological Development (CNPq) (n° 403193/2022-2), and National Institute of Science and Technology in Theranostics and Nanobiotechnology (INCT TeraNano).

Acknowledgments: This work is dedicated to Prof. Dr. Luiz Ricardo Goulart (in memoriam), PhD, a Brazilian coordinator and scientist who shaped our scientific criteria and training.

Conflict of Interest: The authors declare no conflict of interest.

6. References:

- Abraham, E., Davies, S. G., Millican, N. L., Nicholson, R. L., Roberts, P. M., & Smith, A. D. (2008). Asymmetric synthesis of vicinal amino alcohols: Xestoaminol C, sphinganine and sphingosine. *Organic and Biomolecular Chemistry*, 6(9), 1655–1664. <https://doi.org/10.1039/b801357h>
- Ahn, C. S., & Rao, B. K. (2014). The life cycles and biological end pathways of dermal fillers. *Journal of Cosmetic Dermatology*, 13(3), 212–223. <https://doi.org/10.1111/jocd.12100>
- Attenello, N. H., & Maas, C. S. (2015). Injectable fillers: Review of material and properties. *Facial Plastic Surgery*, 31(1), 29–34. <https://doi.org/10.1055/s-0035-1544924>
- Berlin, A. L., Hussain, M., & Goldberg, D. J. (2008). Calcium hydroxylapatite filler for facial rejuvenation: A histologic and immunohistochemical analysis. *Dermatologic Surgery*, 34(SUPPL 1), 64–67. <https://doi.org/10.1111/j.1524-4725.2008.34245.x>
- Bernardo-Bermejo, S., Sánchez-López, E., Castro-Puyana, M., Benito, S., Lucio-Cazaña, F. J., & Marina, M. L. (2019). An untargeted metabolomic strategy based on liquid chromatography-mass spectrometry to study high glucose-induced changes in HK-2 cells. *Journal of Chromatography A*, 1596, 124–133. <https://doi.org/10.1016/j.chroma.2019.03.009>
- Bernardo-Bermejo, S., Sánchez-López, E., Castro-Puyana, M., Fernández-Martínez, A. B., Lucio-Cazaña, F. J., & Marina, M. L. (2023). Exploring the Metabolic Differences between Cisplatin- and UV Light-Induced Apoptotic Bodies in HK-2 Cells by an Untargeted Metabolomics Approach. *International Journal of Molecular Sciences*, 24(8). <https://doi.org/10.3390/ijms24087237>
- Bialoszewski, D., Pietruczuk-Padzik, A., Kalicinska, A., Bocian, E., Czajkowska, M., Bukowska, B., & Tyski, S. (2011). Activity of ozonated water and ozone against



**SERVIÇO PÚBLICO FEDERAL
UNIVERSIDADE FEDERAL DE UBERLÂNDIA
INSTITUTO DE BIOTECNOLOGIA
PROGRAMA DE PÓS-GRADUAÇÃO EM GENÉTICA E
BIOQUÍMICA**

- staphylococcus aureus and pseudomonas aeruginosa biofilms. *Medical Science Monitor*, 17(11), 339–344. <https://doi.org/10.12659/msm.882044>
- Borges, G. Á., Elias, S. T., da Silva, S. M. M., Magalhães, P. O., Macedo, S. B., Ribeiro, A. P. D., & Guerra, E. N. S. (2017). *In vitro* evaluation of wound healing and antimicrobial potential of ozone therapy. *Journal of Cranio-Maxillofacial Surgery*, 45(3), 364–370. <https://doi.org/10.1016/j.jcms.2017.01.005>
- Breithaupt, A., & Fitzgerald, R. (2015). Collagen Stimulators. Poly-L-Lactic Acid and Calcium Hydroxyl Apatite. *Facial Plastic Surgery Clinics of North America*, 23(4), 459–469. <https://doi.org/10.1016/j.fsc.2015.07.007>
- Burke, K. E. (2018). Mechanisms of aging and development—A new understanding of environmental damage to the skin and prevention with topical antioxidants. *Mechanisms of Ageing and Development*, 172, 123–130. <https://doi.org/10.1016/j.mad.2017.12.003>
- Celleno, L., & Tamburi, F. (2009). Structure and Function of the Skin. In *Nutritional Cosmetics: Beauty from Within*. <https://doi.org/10.1016/B978-0-8155-2029-0.50008-9>
- Chen, S. Y., Chen, S. Y., Chen, S. T., Lin, J. Y., & Lin, C. Y. (2020). Reconstitution of Injectable Poly- d, l -lactic Acid: Efficacy of Different Diluents and a New Accelerating Method. *Plastic and Reconstructive Surgery - Global Open*, 1–8. <https://doi.org/10.1097/GOX.0000000000002829>
- Cisterna, B., Costanzo, M., Lacavalla, M. A., Galiè, M., Angelini, O., Tabaracci, G., & Malatesta, M. (2021). Low Ozone Concentrations Differentially affect the structural and functional features of non-activated and activated fibroblasts *in vitro*. *International Journal of Molecular Sciences*, 22. <https://doi.org/10.3390/ijms221810133>
- Damascena, H. L., Silveira, W. A. A., Castro, M. S., & Fontes, W. (2022). Neutrophil Activated by the Famous and Potent PMA (Phorbol Myristate Acetate). *Cells*, 11(18). <https://doi.org/10.3390/cells11182889>
- Dattola, A., Silvestri, M., Bennardo, L., Passante, M., Scali, E., Patruno, C., & Nisticò, S. P. (2020). Role of Vitamins in Skin Health: a Systematic Review. *Current Nutrition Reports*, 9(3), 226–235. <https://doi.org/10.1007/s13668-020-00322-4>
- De Melo, F., Nicolau, P., Piovano, L., Lin, S. L., Baptista-Fernandes, T., King, M. I., Camporese, A., Hong, K., Khattar, M. M., & Christen, M. O. (2017). Recommendations for volume augmentation and rejuvenation of the face and hands with the new generation polycaprolactone-based collagen stimulator (Ellansé®). *Clinical, Cosmetic and Investigational Dermatology*, 10, 431–440. <https://doi.org/10.2147/CCID.S145195>
- Dellacasa, E., Zhao, L., Yang, G., Pastorino, L., & Sukhorukov, G. B. (2016). Fabrication and characterization of novel multilayered structures by stereocomplexion of poly(D-lactic acid)/poly(L-lactic acid) and self-assembly of polyelectrolytes. *Beilstein Journal of Nanotechnology*, 7, 80–90. <https://doi.org/10.3762/bjnano.7.10>
- Dengjel, J., Bruckner-Tuderman, L., & Nyström, A. (2020). Skin proteomics—analysis of the extracellular matrix in health and disease. *Expert Review of Proteomics*, 17(5), 377–391. <https://doi.org/10.1080/14789450.2020.1773261>



**SERVIÇO PÚBLICO FEDERAL
UNIVERSIDADE FEDERAL DE UBERLÂNDIA
INSTITUTO DE BIOTECNOLOGIA
PROGRAMA DE PÓS-GRADUAÇÃO EM GENÉTICA E
BIOQUÍMICA**

- Eming, S. A., Wynn, T. A., & Martin, P. (2017). Inflammation and metabolism in tissue repair and regeneration. *Science*, 365(6342), 1026–1030. <https://doi.org/10.1126/science.aam7928>
- Fitzgerald, R., & Vleggaar, D. (2010). Sculptra Poly-L-Lactic Acid. *Injectable Fillers: Principles and Practice, c*, 54–74.
- García, C. J., Alacid, V., Tomás-Barberán, F. A., García, C., & Palazón, P. (2022). Untargeted Metabolomics to Explore the Bacteria Exo-Metabolome Related to Plant Biostimulants. *Agronomy*, 12(8), 1–13. <https://doi.org/10.3390/agronomy12081926>
- Gentleman, E., Lay, A. N., Dickerson, D. A., Nauman, E. A., Livesay, G. A., & Dee, K. C. (2003). Mechanical characterization of collagen fibers and scaffolds for tissue engineering. *Biomaterials*, 24(21), 3805–3813. [https://doi.org/10.1016/S0142-9612\(03\)00206-0](https://doi.org/10.1016/S0142-9612(03)00206-0)
- Goldie, K., Peeters, W., Alghoul, M., Butterwick, K., Casabona, G., Chao, Y. Y. Y., Costa, J., Eviatar, J., Fabi, S. G., Lupo, M., Sattler, G., Waldorf, H., Yutskovskaya, Y., & Lorenc, P. (2018). Global Consensus Guidelines for the Injection of Diluted and Hyperdiluted Calcium Hydroxylapatite for Skin Tightening. *Dermatologic Surgery*, 44(1), S32–S41. <https://doi.org/10.1097/DSS.0000000000001685>
- Hashimoto, T., Sano, T., Ito, W., Kanazawa, K., Danno, G. I., & Ashida, H. (2004). 3-Amino-1,4-dimethyl-5H-pyrido[4,3-b]indole induces apoptosis and necrosis with activation of different caspases in rat splenocytes. *Bioscience, Biotechnology and Biochemistry*, 68(4), 964–967. <https://doi.org/10.1271/bbb.68.964>
- Kaur, S., Bansal, Y., Kumar, R., & Bansal, G. (2020). A panoramic review of IL-6: Structure, pathophysiological roles and inhibitors. *Bioorganic and Medicinal Chemistry*, 28(5), 115327. <https://doi.org/10.1016/j.bmc.2020.115327>
- Keni, S. P., & Sidle, D. M. (2007). Sculptra (Injectable Poly-L-Lactic Acid). *Facial Plastic Surgery Clinics of North America*, 15(1), 91–97. <https://doi.org/10.1016/j.fsc.2006.10.005>
- Lemoine, P., Acheson, J., McKillop, S., van den Beucken, J. J., Ward, J., Boyd, A., & Meenan, B. (2022). Nanoindentation and nano-scratching of hydroxyapatite coatings for resorbable magnesium alloy bone implant applications. *Journal of the Mechanical Behavior of Biomedical Materials*, 133(June), 105306. <https://doi.org/10.1016/j.jmbbm.2022.105306>
- Lemperle, G., Morhenn, V., & Charrier, U. (2020). Human Histology and Persistence of Various Injectable Filler Substances for Soft Tissue Augmentation. *Aesthetic Plastic Surgery*, 44(4), 1348–1360. <https://doi.org/10.1007/s00266-020-01827-7>
- Liao, J., Joyce, E. M., & Sacks, M. S. (2008). Effects of decellularization on the mechanical and structural properties of the porcine aortic valve leaflet. *Biomaterials*, 29(8), 1065–1074. <https://doi.org/10.1016/j.biomaterials.2007.11.007>
- Magnano, M. C., Ahmed, W., Wang, R., Bergant Marušič, M., Fowler, S. J., & White, I. R. (2024). Exhaled volatile organic compounds and respiratory disease: Recent progress



**SERVIÇO PÚBLICO FEDERAL
UNIVERSIDADE FEDERAL DE UBERLÂNDIA
INSTITUTO DE BIOTECNOLOGIA
PROGRAMA DE PÓS-GRADUAÇÃO EM GENÉTICA E
BIOQUÍMICA**

- and future outlook. *TrAC - Trends in Analytical Chemistry*, 176(May).
<https://doi.org/10.1016/j.trac.2024.117739>
- Martinotti, S., & Ranzato, E. (2020). Scratch wound healing assay. *Methods in Molecular Biology*, 2109, 225–229. https://doi.org/10.1007/7651_2019_259
- Nofar, M., Sacligil, D., Carreau, P. J., Kamal, M. R., & Heuzey, M. C. (2019). Poly (lactic acid) blends: Processing, properties and applications. *International Journal of Biological Macromolecules*, 125, 307–360. <https://doi.org/10.1016/j.ijbiomac.2018.12.002>
- Nováková, G., Drabina, P., Brůčková, L., Báčová, J., Handl, J., Svoboda, J., Vrbický, M., Roušar, T., & Sedlák, M. (2020). Enantioselective Synthesis of Clavaminol A, Xestoaminol C and their Stereoisomers Exhibiting Cytotoxic Activity. *European Journal of Organic Chemistry*, 2020(24), 3671–3679. <https://doi.org/10.1002/ejoc.202000353>
- Nowag, B., Schäfer, D., Hengl, T., Corduff, N., & Goldie, K. (2024). Biostimulating fillers and induction of inflammatory pathways: A preclinical investigation of macrophage response to calcium hydroxylapatite and poly-L lactic acid. *Journal of Cosmetic Dermatology*, 23(1), 99–106. <https://doi.org/10.1111/jocd.15928>
- Nyström, A., & Bruckner-Tuderman, L. (2019). Matrix molecules and skin biology. *Seminars in Cell and Developmental Biology*, 89(June 2018), 136–146. <https://doi.org/10.1016/j.semcdb.2018.07.025>
- Pawelec, K. M., Best, S. M., & Cameron, R. E. (2016). Collagen: a network for regenerative medicine. *Journal of Materials Chemistry B*, 4(40), 6484–6496. <https://doi.org/10.1039/C6TB00807K>
- Peltier, E., Trapp, S., de Salvo, R., Sun, C., Brandt, M., Laing, S., Hennighausen, N., & Barrionuevo-Gonzalez, A. (2022). A new dexpanthenol-containing liquid cleanser for atopic-prone skin: Results from two prospective clinical studies evaluating cutaneous tolerability, moisturization potential, and effects on barrier function. *Journal of Cosmetic Dermatology*, 21(9), 3859–3866. <https://doi.org/10.1111/jocd.15252>
- Pereira, S. P., Deus, C. M., Serafim, T. L., Cunha-Oliveira, T., & Oliveira, P. J. (2018). Metabolic and phenotypic characterization of human skin fibroblasts after forcing oxidative capacity. *Toxicological Sciences*, 164(1), 191–204. <https://doi.org/10.1093/toxsci/kfy068>
- Riss, T. L., Moravec, R. A., Niles, A. L., Duellman, S., Benink, H. A., Worzella, T. J., & Minor, L. (2004). The Assay Guidance Manual. *Assay Guidance Manual*, Md, 1–25. <http://www.ncbi.nlm.nih.gov/pubmed/23805433>
- Rocha, A., Magalhães, S., & Nunes, A. (2020). Study Aging by Fibroblasts Metabolome. *Current Molecular Medicine*, 21(4), 300–317. <https://doi.org/10.2174/1566524020999200831120852>
- Roger, M., Fullard, N., Costello, L., Bradbury, S., Markiewicz, E., O'Reilly, S., Darling, N., Ritchie, P., Määttä, A., Karakesisoglou, I., Nelson, G., von Zglinicki, T., Dicolandrea, T., Isfort, R., Bascom, C., & Przyborski, S. (2019). Bioengineering the microanatomy of human skin. *Journal of Anatomy*, 234(4), 438–455. <https://doi.org/10.1111/joa.12942>



**SERVIÇO PÚBLICO FEDERAL
UNIVERSIDADE FEDERAL DE UBERLÂNDIA
INSTITUTO DE BIOTECNOLOGIA
PROGRAMA DE PÓS-GRADUAÇÃO EM GENÉTICA E
BIOQUÍMICA**

- Sanchez-Espirilla, S., Pereira-Vega, A., Callejón-Leblic, B., Díaz-Olivares, I., Santana, R., Gotera Rivera, C., Gómez-Ariza, J. L., López-Campos, J. L., Blanco-Orozco, A. I., Seijo, L., Rodríguez, M., Padrón Fraysse, L. A., Herrera-Chilla, Á., Peces-Barba, G., & Barrera, T. G. (2023). Untargeted Metabolomic Study of Lung Cancer Patients after Surgery with Curative Intent. *Journal of Proteome Research*, 22(11), 3499–3507. <https://doi.org/10.1021/acs.jproteome.3c00356>
- Saxena, S., Kumar, S., Hajare, S. N., Gupta, S., Gautam, S., & Ghosh, S. K. (2021). ‘BhAVI-23’-A spice-herb based dietary infusion possessing in-vitro anti-viral potential. *Journal of Ayurveda and Integrative Medicine*, 12(2), 312–319. <https://doi.org/10.1016/j.jaim.2020.11.005>
- Scott, L. N., Fiume, M., Bergfeld, W. F., Belsito, D. V., Hill, R. A., Klaassen, C. D., Liebler, D. C., Marks, J. G., Shank, R. C., Slaga, T. J., Snyder, P. W., & Heldreth, B. (2022). Safety Assessment of Panthenol, Pantothenic Acid, and Derivatives as Used in Cosmetics. *International Journal of Toxicology*, 41(3_suppl), 77–128. <https://doi.org/10.1177/10915818221124809>
- Shoulders, M. D., & Raines, R. T. (2009). Collagen structure and stability. *Annual Review of Biochemistry*, 78, 929–958. <https://doi.org/10.1146/annurev.biochem.77.032207.120833>
- Sorushanova, A., Delgado, L. M., Wu, Z., Shologu, N., Kshirsagar, A., Raghunath, R., Mullen, A. M., Bayon, Y., Pandit, A., Raghunath, M., & Zeugolis, D. I. (2019). The Collagen Suprafamily: From Biosynthesis to Advanced Biomaterial Development. *Advanced Materials*, 31(1), 1–39. <https://doi.org/10.1002/adma.201801651>
- Srivastava, M., Singh, N. P., & Yadav, R. A. (2014). Experimental Raman and IR spectral and theoretical studies of vibrational spectrum and molecular structure of Pantothenic acid (vitamin B5). *Spectrochimica Acta - Part A: Molecular and Biomolecular Spectroscopy*, 129, 131–142. <https://doi.org/10.1016/j.saa.2014.02.121>
- Sun, J., Yu, H., Zhuang, X., Chen, X., & Jing, X. (2011). Crystallization behavior of asymmetric PLLA/PDLA blends. *Journal of Physical Chemistry B*, 115(12), 2864–2869. <https://doi.org/10.1021/jp111894m>
- Tobin, D. J. (2017). Introduction to skin aging. *Journal of Tissue Viability*, 26(1), 37–46. <https://doi.org/10.1016/j.jtv.2016.03.002>
- Unver, N., & McAllister, F. (2018). IL-6 family cytokines: Key inflammatory mediators as biomarkers and potential therapeutic targets. *Cytokine and Growth Factor Reviews*, 41, 10–17. <https://doi.org/10.1016/j.cytogfr.2018.04.004>
- Use, I. F. O. R. (2013). Injectable Implant Instructions for Use. *In00075*, April, 1–176.
- Wang, Y., Zhu, F., Chen, J., Han, F., & Wang, H. (2009). Effects of Pro-Arg, a novel dipeptide derived from protamine hydrolysate on H₂O₂-induced oxidative stress in human diploid fibroblasts. *Biological and Pharmaceutical Bulletin*, 32(3), 389–393. <https://doi.org/10.1248/bpb.32.389>
- Wei, W., & Ji, S. (2018). Cellular senescence: Molecular mechanisms and pathogenicity. *Journal of Cellular Physiology*, 233(12), 9121–9135. <https://doi.org/10.1002/jcp.26956>



**SERVIÇO PÚBLICO FEDERAL
UNIVERSIDADE FEDERAL DE UBERLÂNDIA
INSTITUTO DE BIOTECNOLOGIA
PROGRAMA DE PÓS-GRADUAÇÃO EM GENÉTICA E
BIOQUÍMICA**

- Wenger, M. P. E., Bozec, L., Horton, M. A., & Mesquidaz, P. (2007). Mechanical properties of collagen fibrils. *Biophysical Journal*, 93(4), 1255–1263. <https://doi.org/10.1529/biophysj.106.103192>
- Wong, R., Geyer, S., Weninger, W., Guimberteau, J. C., & Wong, J. K. (2016). The dynamic anatomy and patterning of skin. *Experimental Dermatology*, 25(2), 92–98. <https://doi.org/10.1111/exd.12832>
- World Health Organization. (2020). Healthy ageing and functional ability. In *World Health Organization Geneva* (Issue October, pp. 2020–2022). <https://www.who.int/news-room/questions-and-answers/item/healthy-ageing-and-functional-ability>
- Yamazoe, Y., Murayama, N., Kawamura, T., & Yamada, T. (2023). Application of fused-grid-based CYP-Template systems for genotoxic substances to understand the metabolisms. *Genes and Environment*, 45(1), 1–22. <https://doi.org/10.1186/s41021-023-00275-4>
- Yu, B., Cao, Y., Sun, H., & Han, J. (2017). The Structure and Properties of Biodegradable PLLA/PDLA for Melt-Blown Nonwovens. *Journal of Polymers and the Environment*, 25(2), 510–517. <https://doi.org/10.1007/s10924-016-0827-y>
- Yun, C. H., Chung, D. K., Yoon, K., & Han, S. H. (2006). Involvement of reactive oxygen species in the immunosuppressive effect of 3-amino-1,4-dimethyl-5H-pyrido[4,3-b]indole (Trp-P-1), a food-born carcinogenic heterocyclic amine. *Toxicology Letters*, 164(1), 37–43. <https://doi.org/10.1016/j.toxlet.2005.11.009>
- Zeng, J., & Lu, J. (2018). Mechanisms of action involved in ozone-therapy in skin diseases. *International Immunopharmacology*, 56(138), 235–241. <https://doi.org/10.1016/j.intimp.2018.01.040>
- Zerbinati, N., & Calligaro, A. (2018). Calcium hydroxylapatite treatment of human skin: Evidence of collagen turnover through picosirius red staining and circularly polarized microscopy. *Clinical, Cosmetic and Investigational Dermatology*, 11, 29–35. <https://doi.org/10.2147/CCID.S143015>
- Zhang, X., Tao, H., Deng, Y., He, X., Zhang, Z., Zhong, L., & Wen, Y. (2024). Efficacy and safety of a panthenol-enriched mask for individuals with distinct impaired skin barrier subtypes. *Journal of Cosmetic Dermatology*, January, 2109–2116. <https://doi.org/10.1111/jocd.16231>